

บทที่ 4

ผลการวิจัย

การวิเคราะห์สมบัติของฟิล์ม

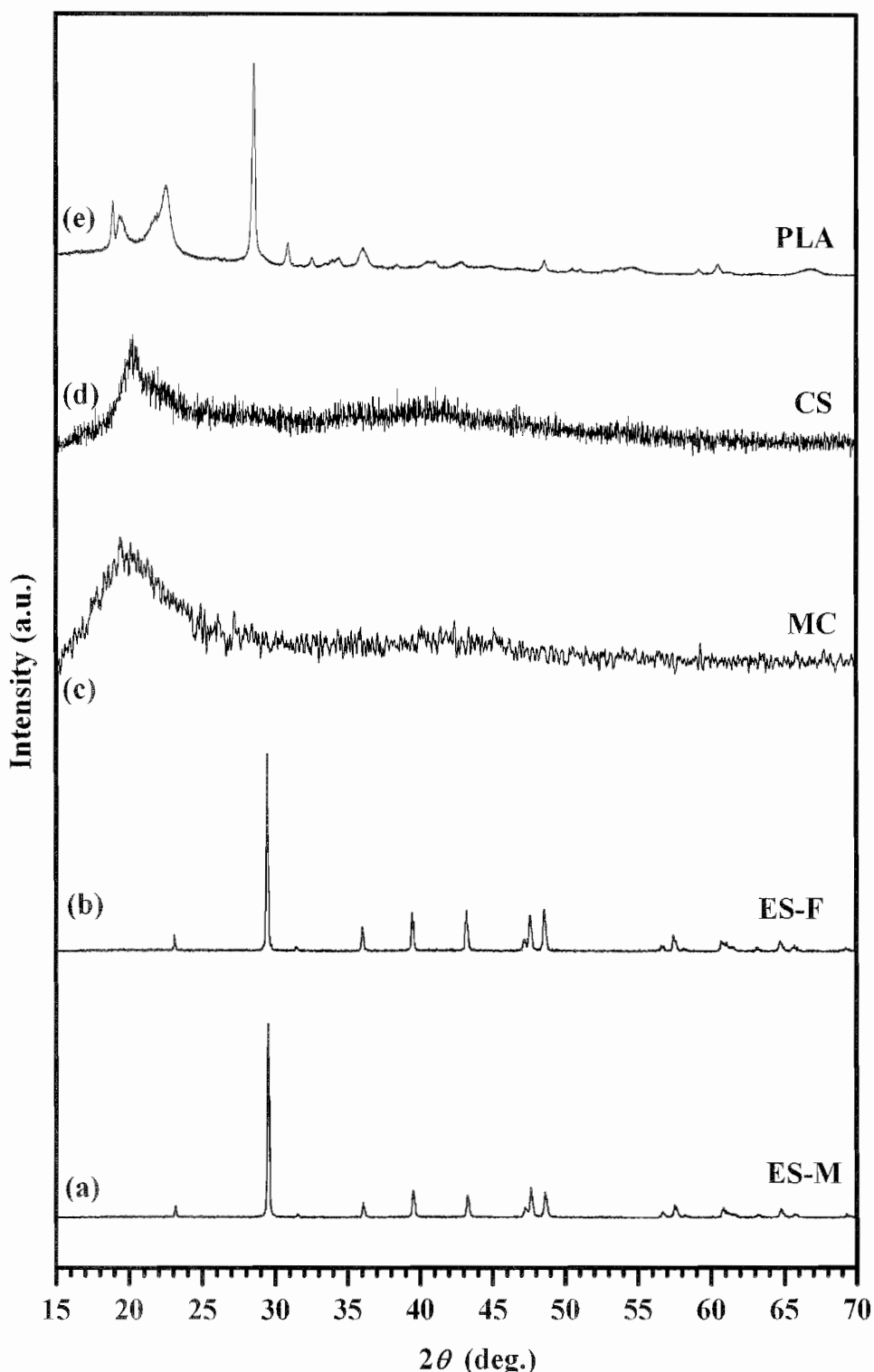
การวิเคราะห์สมบัติต่าง ๆ ของฟิล์มพอลิแลคติกแอชิด (PLA) ฟิล์มพอลิแลคติกแอชิด: ไคลโ陶ไซน (PLA:CS) ฟิล์มพอลิแลคติกแอชิด: เมทิลเซลลูโลส (PLA:MC) และ ฟิล์มพอลิแลคติกแอชิด: พลงเปลือกไน (PLA:ES) แสดงดังหัวข้อ

- 4.1 การวิเคราะห์คุณสมบัติเบื้องต้นของวัสดุ
- 4.2 ลักษณะของฟิล์มพอลิแลคติกแอชิดผสมวัสดุธรรมชาติ
- 4.3 คุณสมบัติทางค้านความชืืุ่น-ใส
- 4.4 คุณสมบัติลักษณะด้านโครงสร้างฟลัก
- 4.5 คุณสมบัติลักษณะทางเคมี
- 4.6 คุณลักษณะด้านพื้นผิว
- 4.7 คุณสมบัติด้านความหนา
- 4.8 คุณสมบัติด้านความสามารถในการละลายน้ำ
- 4.9 คุณสมบัติด้านแรงดึงและการยึด
- 4.10 คุณสมบัติการด้านเชื้อจุลินทรีย์

4.1 การวิเคราะห์คุณสมบัติเบื้องต้นของวัสดุ

ในเบื้องต้น ก่อนที่จะทำการสังเคราะห์ พลาสติกจากวัสดุธรรมชาติ จากพอลิแลคติกแอชิด (PLA) ที่เป็นล่วงประกอบหลัก และวัสดุผสม ได้แก่ ไคลโ陶ไซน(CS) เมทิลเซลลูโลส(MC) และเปลือกไน(ES) เพื่อทำให้ได้ข้อมูลพื้นฐานของลักษณะเฉพาะของวัสดุแต่ละชนิด จึงควรทำการศึกษาลักษณะเฉพาะของลักษณะทางโครงสร้างทางเคมีของวัสดุต่าง ๆ โดยเริ่มจาก การศึกษาด้วยเครื่องเอกซ์เรย์ดิฟเฟร็กชัน (X-ray diffraction, XRD) ผลการศึกษาลักษณะการเลี้ยวเบนรังสีเอกซ์ สามารถแสดงได้ดังภาพที่ 26 (a) - (e) ซึ่งจะสังเกตได้ว่า PLA และ ES จะมีลักษณะรูปแบบของยอดแท้ม (Peak) ที่ชัดเจนมากกว่า CS และ MC ซึ่งจากลักษณะการเลี้ยวเบนรังสีเอกซ์ ทำให้สามารถจำแนกลักษณะทางโครงสร้างของวัสดุ ได้ว่า วัสดุ PLA และ ES มีลักษณะเป็นผลึก และมีความเป็นผลึกสูงกว่า CS และ MC ที่มีลักษณะเป็นอสัมฐาน (amorphous) ซึ่งสอดคล้องกับ Pinotti (2007) ที่ได้รายงานว่า CS และ MC มีลักษณะโครงสร้าง

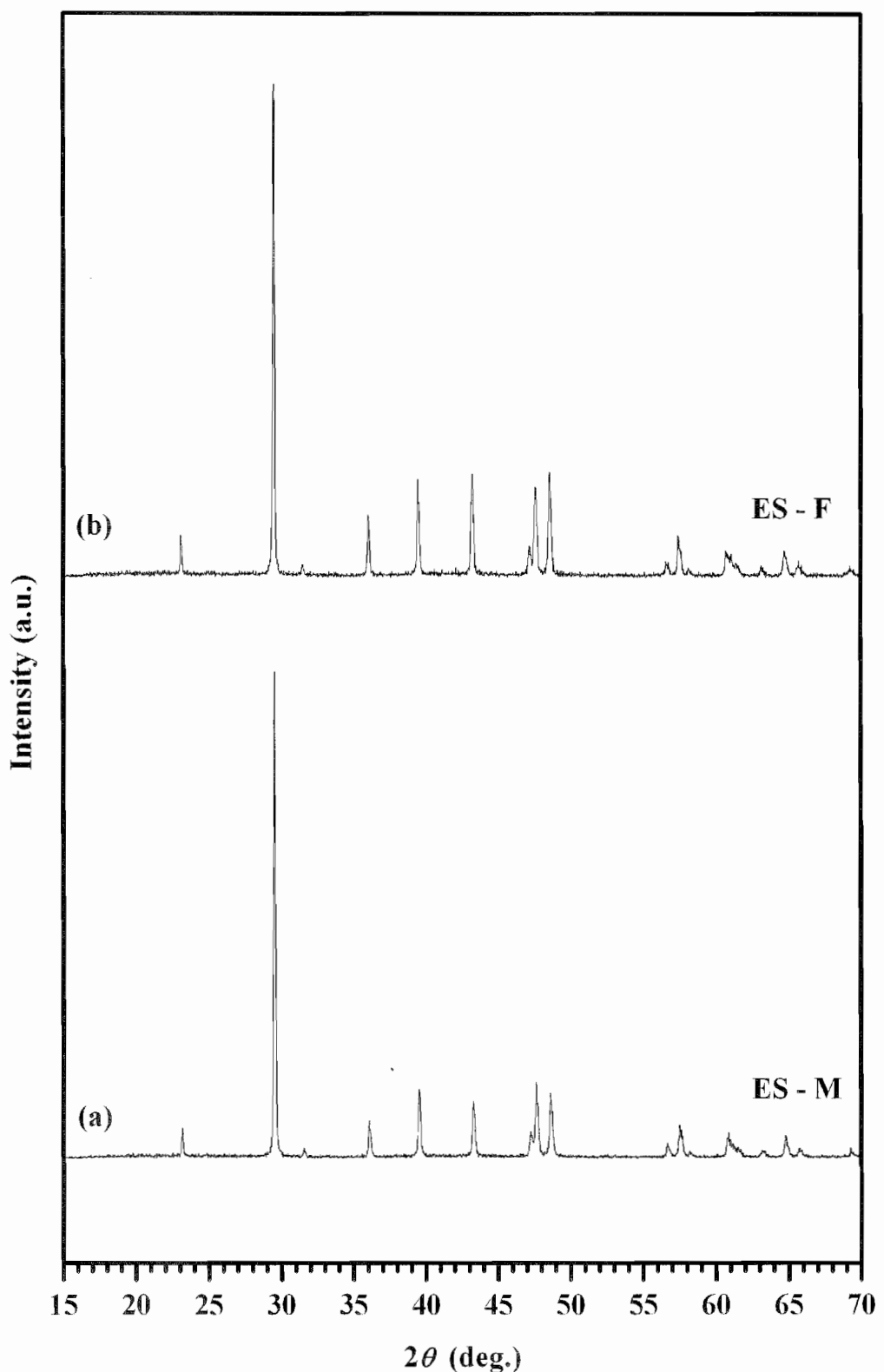
เป็นแบบกึ่งผลึก (semi-crystalline) ในขณะเดียวกันลักษณะการเลี้ยวเบนรังสีเอกซ์ของ PLA ตามผลการวิจัยของ Oksman (2006) ได้รายงานลักษณะการเลี้ยวเบนรังสีเอกซ์ที่แสดงความเข้มการสะท้อนในลักษณะยอดแหลมที่ตำแหน่ง $2\Theta = 16.53, 19.65, 28.75, 34.53$ และ 36.38° ตามลำดับ



ภาพที่ 26 แผนกาว XRD ของพอลิแลคติกแอซิด (PLA) ไคลชาน (CS) เมทิลเซลลูโลส (MC)
เปลือกไข่จากโรงงาน (ES-F) และ เปลือกไข่จากห้างสรรพสินค้า (ES-M)

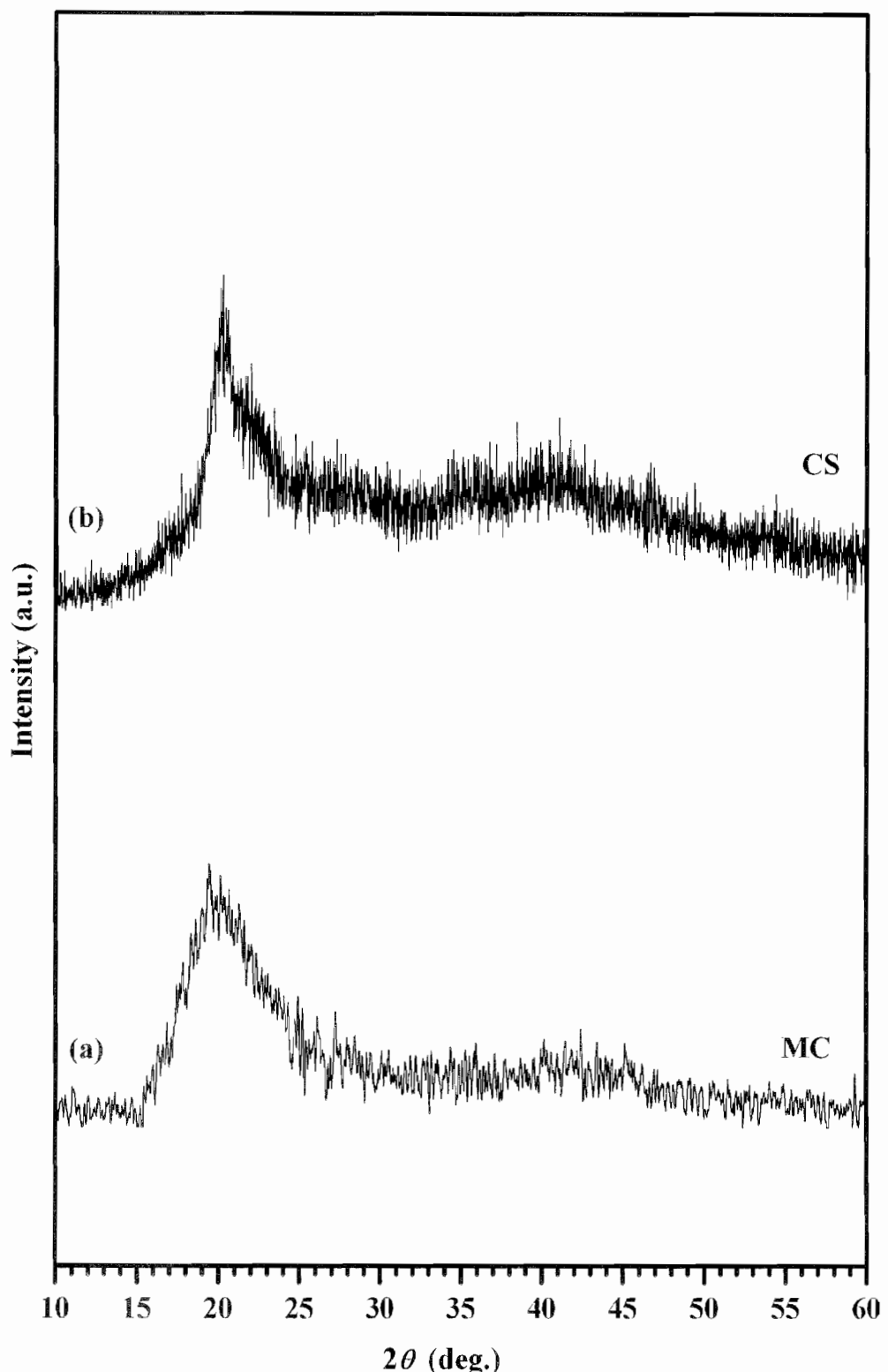
และเมื่อพิจารณาลักษณะการเลี้ยวเบนรังสีเอกซ์ ของ ES สามารถแสดงได้ดังภาพที่ 27

(a) และ 27 (b) โดยพบว่า โครงสร้างของ ES เมื่อเปรียบเทียบลักษณะการเลี้ยวเบนรังสีเอกซ์ จากแฟ้มข้อมูล JCPDs (Joint Committee on Powder Diffraction Standard) พบว่าสอดคล้องกับลักษณะการเลี้ยวเบนของสารประกอบแคลเซียมคาร์บอนेट (CaCO_3) โดยมีลักษณะโครงสร้างเป็นผลึกแบบ 6 เหลี่ยม (Hexagonal) เรียกว่า แคลไซต์ (Calcite) และจากข้อมูลลักษณะการเลี้ยวเบนรังสีเอกซ์ของ ES-M สอดคล้องกับแฟ้มข้อมูล JCPDs หมายเลข 01-085-1108 ส่วน ES-F สอดคล้องกับ แฟ้มข้อมูล JCPDs หมายเลข 01-086-2335 ซึ่งเป็นเฟส แมกนีเซียม-แคลไซต์ (magnesium calcite phase) ซึ่งส่งผลให้ลักษณะการวางแผนตัวของระนาบโครงผลึกใน ES-F มีความแตกต่างจาก ES-M ลักษณะการเลี้ยวเบนที่แตกต่างกันคาดว่าเป็นผลมาจากการปั่นปื้นในสารประกอบแคลเซียมคาร์บอนेट และเมื่อพิจารณาผลการทดลองจาก เอกซ์เรย์ฟลูออเรสเซนส์ (X-ray fluorescence, XRF) เพื่อยืนยันการปั่นปื้นพบว่า ES-F มีโลหะ โพแทสเซียม (K) และไทเทเนียม (Ti) ปั่นปื้นอยู่ และมีโพแทสเซียมมากถึง 0.48% โดยน้ำหนัก ซึ่งน่าจะเป็นสาเหตุที่ทำให้ลักษณะการเลี้ยวเบนรังสีเอกซ์ มีลักษณะการเลี้ยวเบนบางตัวแห่นงแตกต่างออกไป



ภาพที่ 27 แผนกาน XRD ของเปลือกไข่จากโรงงาน (ES-F) และห้างสรรพสินค้า (ES-M)

สำหรับภาพที่ 28 ได้แสดง ลักษณะการเลี้ยวเบนรังสีเอกซ์ของ CS และ MC ที่มีลักษณะการเลี้ยวเบนแบบแอบกว้างยอดไม่แหลม (broad peak) อันเป็นการแสดงถึงลักษณะผลึกอสัมฐาน สำหรับลักษณะการเลี้ยวเบนดังภาพที่ 28 (a) และ 28 (b) สอดคล้องกับผลการวิจัยของ Pinotti (2007) และผลรายงานของ Donhowe and Fennema (1993a) และ (1993b) ที่ได้กล่าวถึงลักษณะการเลี้ยวเบนรังสีเอกซ์ของ CS และ MC ว่า MC จะมีลักษณะผลึกอสัมฐาน (amorphous-cryatalline) โดย MC จะมียอดแหลมที่มุน $2\theta = 8^\circ$ ที่แสดงถึงลักษณะผลึก และลักษณะการเลี้ยวเบนเป็นแบบแอบกว้างยอดไม่แหลม ที่มุน $2\theta = 20.5-21.5^\circ$ แสดงถึงลักษณะอสัมฐาน ส่วนลักษณะการเลี้ยวเบนรังสีเอกซ์ของ CS จะแสดงถึงลักษณะอสัมฐานมากกว่า MC เนื่องจาก CS มีความเข้มการสะท้อนในลักษณะที่เป็นแอบกว้างยอดไม่แหลมที่มุน $2\theta = 22.8^\circ$ ซึ่งสอดคล้องกับ Fan et al. (2009) ที่ได้อธิบายถึงรูปแบบของ CS ว่ามีรูปแบบโครงสร้างของอสัมฐาน



ภาพที่ 28 แผนก้าว XRD ของ ไคโตซาน (CS) และเมทิลเซลลูโลส (MC)

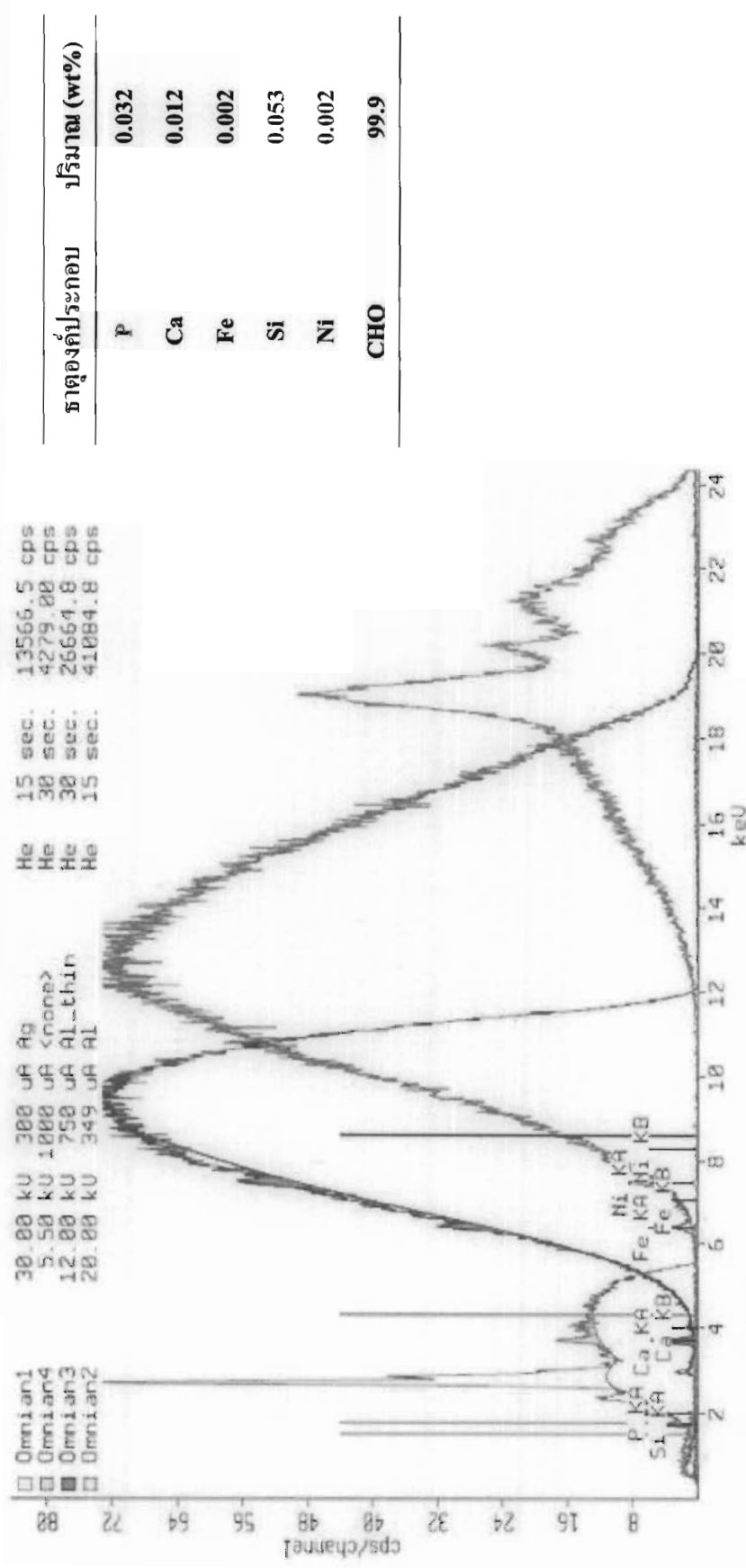
ในส่วนของผลการทดลองทางเคมี ได้ทำการศึกษาถึงธาตุองค์ประกอบของวัสดุทั้ง 5 ชนิด ซึ่งพบว่า PLA มีจำนวนธาตุองค์ประกอบ 5 ธาตุ ซึ่งมี Si (Silicon) และ P (Phosphorous) เป็นธาตุองค์ประกอบหลัก สำหรับ CS มีธาตุองค์ประกอบ Ca ที่มีปริมาณมากกว่าธาตุอื่นอย่างมีนัยสำคัญ ส่วน MC มี P ในปริมาณที่สูง โดยมีปริมาณมากถึง 0.028 wt% ขณะที่ ES มีธาตุองค์ประกอบส่วนใหญ่เป็น Ca โดยมีธาตุอื่นเชือปนเพียงเล็กน้อย ดังภาพที่ 29 ถึงภาพที่ 33

เมื่อพิจารณาถึงธาตุองค์ประกอบของวัสดุทั้ง 5 ชนิด จากตารางที่ 6 ซึ่งพบว่า P, Ca, และ Fe พบร่วมกันในวัสดุทั้ง 5 ชนิด แต่ Si และ Ni (Nickel) พบร่วมกันใน PLA ส่วน Cr (Chromium) พบร่วมกันใน CS และ Ca พบร่วมกันใน ES จากผลของการอ่านรย์ฟลูออเรสเซนส์ (XRF) ทำให้สังเกตได้ว่า P, Ca และ Fe น่าจะเป็นธาตุองค์ประกอบหลักของฟิล์มจากธรรมชาติที่จะทำการสังเคราะห์ในขั้นตอนต่อไป

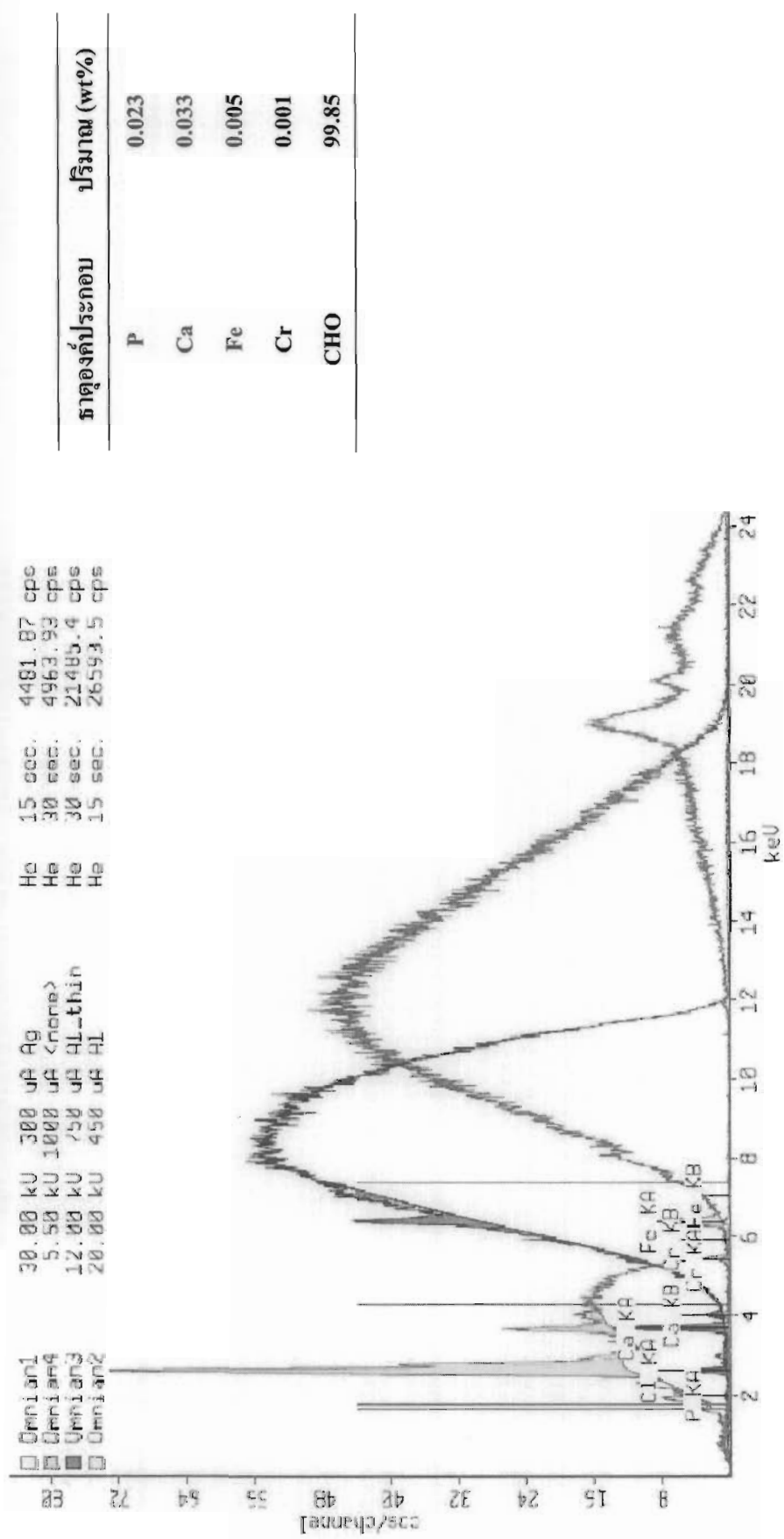
ตารางที่ 6 ปริมาณธาตุองค์ประกอบของวัสดุธรรมชาติ

ธาตุ องค์ประกอบ	ปริมาณ (wt%)				
	PLA	CS	MC	ES-F	ES-M
P	0.032	0.023	0.028	0.075	0.069
Ca	0.012	0.033	0.009	86.703	86.907
Fe	0.002	0.005	0.001	0.027	0.021
S	ND	ND	ND	0.072	0.064
Si	0.053	ND	ND	ND	ND
Ni	0.002	ND	ND	ND	ND
Cr	ND	0.001	ND	ND	ND
K	ND	ND	ND	0.023	ND
CHO	99.900	99.850	99.873	13.143	12.895

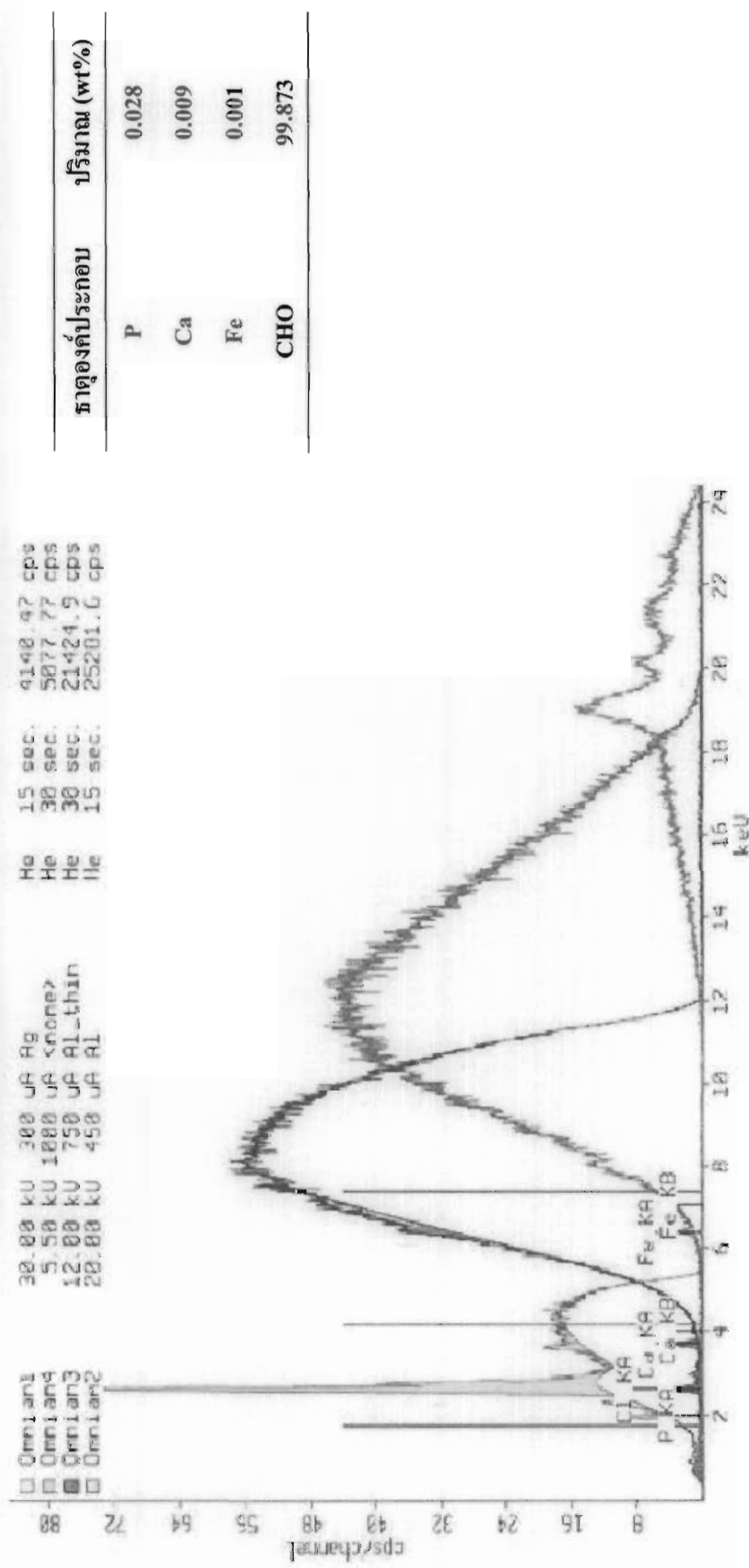
ND*-NoData



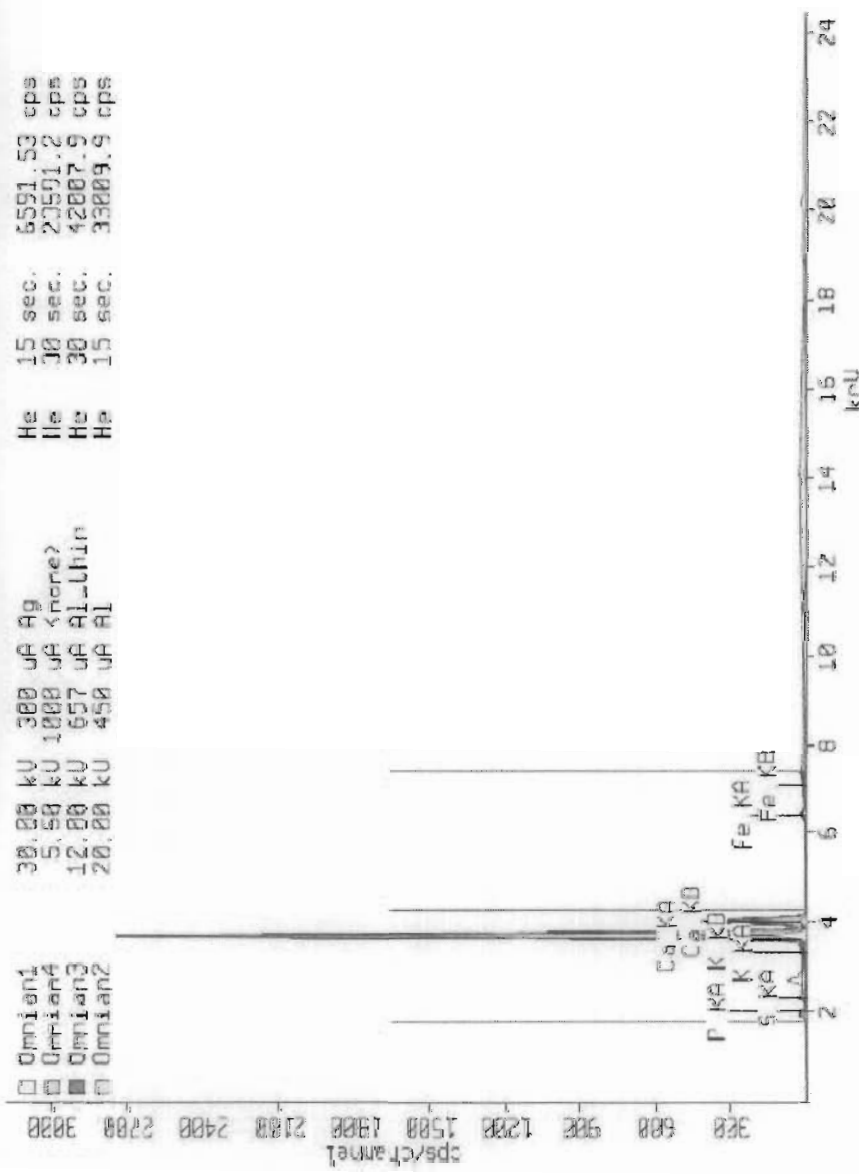
ภาพที่ 29 นริมาณธาตุองค์ประกอบของพอลิเม็ดิกเจล PLA)



ภาพที่ 30 ปริมาณธาตุองค์ประกอบของโครงสร้างในโลหะ (CS)

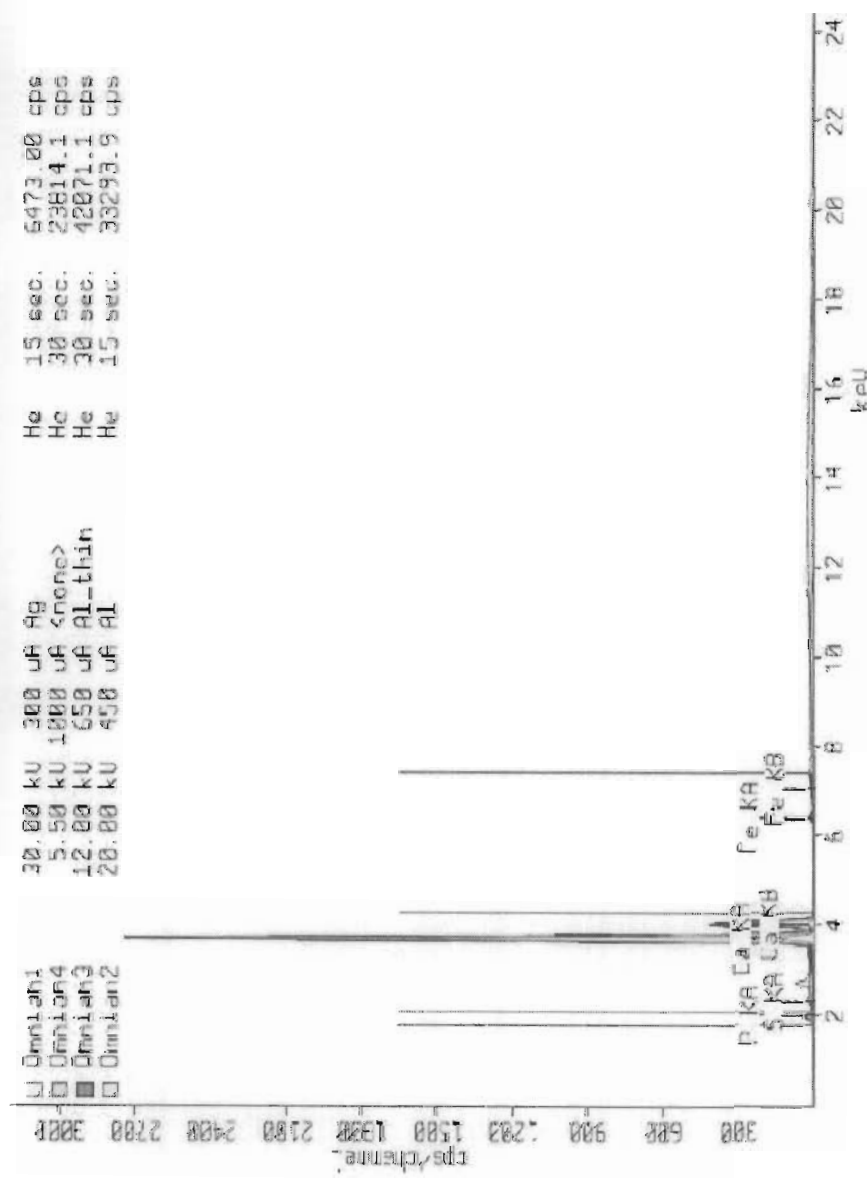


ภาพที่ 31 ปริมาณรากดูองค์ประกอบของมหัลเชลก โลต (MC)



ธาตุองค์ประกอบ	ปริมาณ (wt%)
P	0.075
Ca	86.703
Fe	0.027
S	0.72
K	0.023
CHO	13.143

ภาพที่ 32 ปริมาณธาตุองค์ประกอบของกลีบกุ้งหอยนางน้ำ (ES-F)



ภาพที่ 33 ปริมาณของประจุอนุจงเบ็ดอก ใจหางสรวพสินค้า (ES-M)

ธาตุองค์ประกอบ	ปริมาณ (wt%)
P	0.069
Ca	86.907
Fe	0.021
S	0.064
CHO	12.895

4.2 ลักษณะของฟิล์มพอลิแลคติกและพสมวัสดุธรรมชาติ

หลังจากที่ทำการสังเคราะห์ฟิล์ม PLA, PLA:CS, PLA:MC, PLA:ES พบว่าฟิล์ม PLA บริสุทธิ์ และ ฟิล์ม PLA:ES ตามสัดส่วน 7:3 สามารถขึ้นรูปเป็นแผ่นฟิล์มได้ ยกเว้น PLA:CS และ PLA:MC ที่ไม่สามารถขึ้นรูปเป็นแผ่นฟิล์มได้ โดยพบว่าแผ่นฟิล์มในเพลทมีลักษณะไม่เป็นเนื้อเดียวกัน มีรอยแยก แตกเป็นส่วน ๆ อย่างชัดเจน ทำให้ไม่สามารถขึ้นรูปเป็นแผ่นฟิล์มได้ ผลการทดลองสามารถแสดงในตารางที่ 7 และลักษณะของแผ่นฟิล์มแสดงในตารางที่ 8

ตารางที่ 7 แสดงความเป็นได้ของฟิล์มพสม

สูตร	สัดส่วน	ขึ้นรูปเป็นฟิล์มได้	หมายเหตุ
PLA	10	✓	มีลักษณะเป็นเนื้อเดียวกัน มีความใส ลอกเป็นแผ่นฟิล์มได้ง่าย
PLA : CS	7 : 3	✗	ไม่เป็นเนื้อเดียวกัน มีรอยแยกแตกเป็นลักษณะร่อง ๆ ไม่สามารถลอกเป็นแผ่นฟิล์มได้ มีการแยกไฟฟ้าอย่างชัดเจน จึงไม่สามารถลอกเป็นแผ่นฟิล์มได้
PLA : MC	7 : 3	✗	ไม่สามารถลอกเป็นแผ่นฟิล์มได้
PLA : ES	7 : 3	✓	-มีลักษณะเป็นเนื้อเดียวกัน มีสีขาวๆ สามารถลอกเป็นแผ่นฟิล์มได้

ตารางที่ 8 ลักษณะของแผ่นฟิล์ม

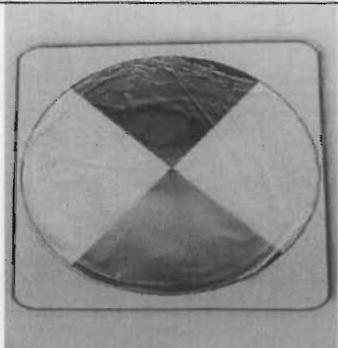
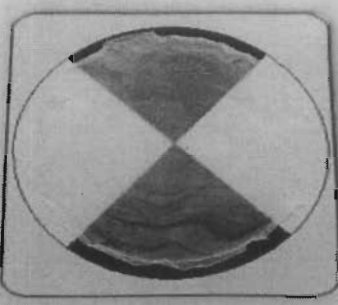
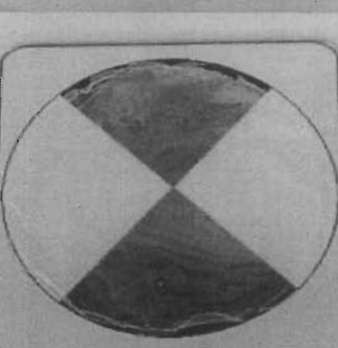
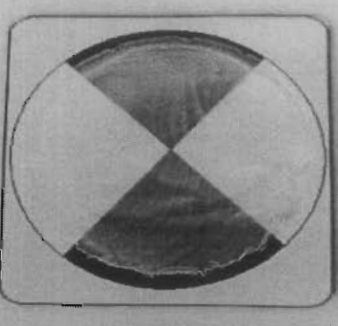
สูตร	สัดส่วน	ลักษณะของแผ่นฟิล์ม	หมายเหตุ
PLA	10		มีลักษณะเป็นเนื้อเดียวกัน มีความใส ลอกเป็นแผ่นฟิล์มได้ง่าย
PLA : CS	7 : 3		ไม่เป็นเนื้อเดียวกัน มีรอยแยกแตกเป็น ลักษณะริ้วๆ ไม่สามารถลอกเป็น แผ่นฟิล์มได้
PLA : MC	7 : 3		มีการแยกเฟสอย่าง ชัดเจน จึงไม่สามารถ ลอกเป็นแผ่นฟิล์มได้
PLA : ES	7 : 3		มีลักษณะเป็นเนื้อเดียวกัน มีสีขาวๆ สามารถลอกเป็น แผ่นฟิล์มได้

จากตารางที่ 8 ผลทดสอบพบว่าแผ่นฟิล์มที่มีลักษณะเป็นเนื้อดีมากันเกิดขึ้นเฉพาะ PLA : ES จึงได้ทำการทดสอบในอัตราการผสมที่น้อยลง คือ PLA : ES (9:1) และ PLA : ES (8:2) เพื่อตรวจสอบประสิทธิภาพการเกิดฟิล์มผสมของ PLA : ES ผลการทดลองได้แสดงในตารางที่ 9 และลักษณะของแผ่นฟิล์มในอัตราส่วนต่างๆ ได้ดังแสดงในตารางที่ 10

ตารางที่ 9 แสดงความเป็นได้ของฟิล์มผสม PLA : ES

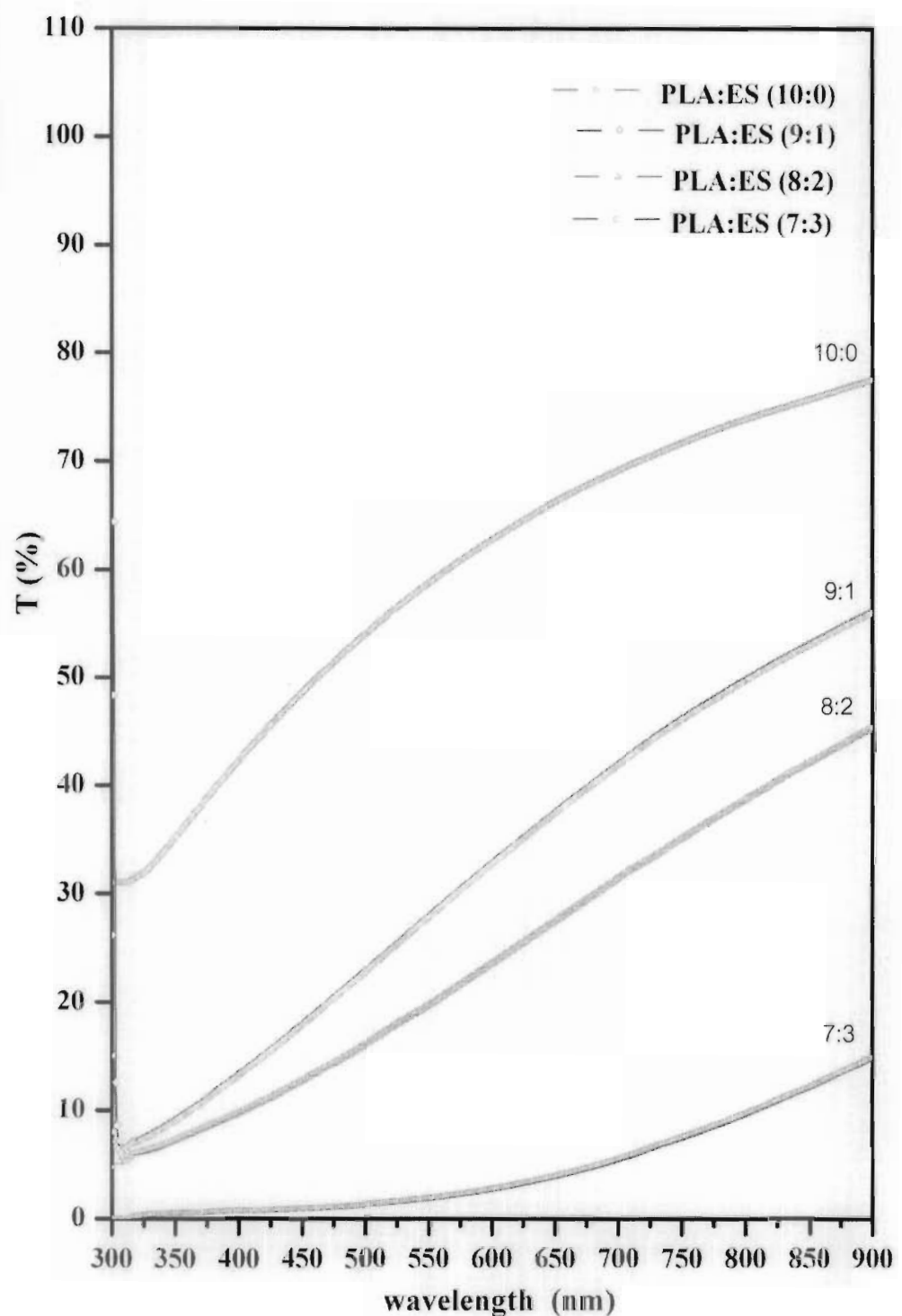
สูตร	สัดส่วน	ขั้นรูปเป็นฟิล์มได้	หมายเหตุ
PLA	10	✓	แผ่นฟิล์มมีลักษณะโปร่งใส
PLA : ES	9 : 1	✓	แผ่นฟิล์มมีลักษณะโปร่งใส แต่น้อยกว่า PLA (10)
PLA : ES	8 : 2	✓	แผ่นฟิล์มมีลักษณะโปร่งแสง
PLA : ES	7 : 3	✓	แผ่นฟิล์มมีลักษณะโปร่งแสง แต่น้อยกว่า PLA (8:2)

ตารางที่ 10 ลักษณะของแผ่นฟิล์ม PLA และ PLA:ES ในอัตราส่วนต่างๆ

สูตร	สัดส่วน	ลักษณะของแผ่นฟิล์ม	หมายเหตุ
PLA	10		แผ่นฟิล์มนี้ ลักษณะ ไปร่องใส
PLA : ES	9 : 1		แผ่นฟิล์มนี้ ลักษณะ ไปร่องใสแต่ น้อยกว่า PLA (10)
PLA : ES	8 : 2		แผ่นฟิล์มนี้ ลักษณะ ไปร่องแสง
PLA : ES	7 : 3		แผ่นฟิล์มนี้ ลักษณะ ไปร่องแสงแต่ น้อยกว่า PLA (8:2)

4.3 คุณสมบัติทางด้านความชุ่น-ใส

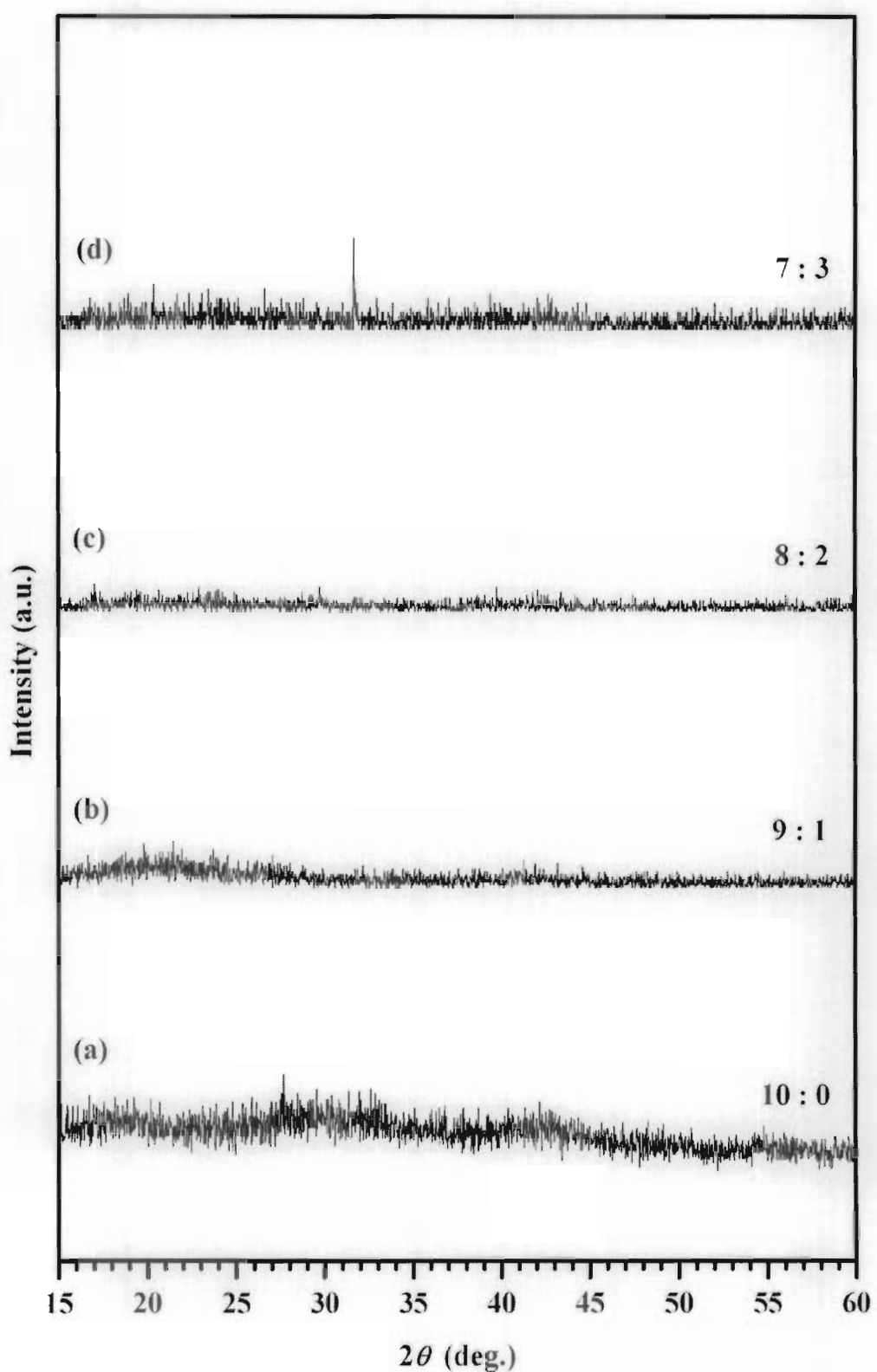
จากการศึกษาสมบัติการส่องผ่านของฟิล์มด้วยเทคนิค UV-visible spectrophotometry ที่ความยาวคลื่นต่าง ๆ ได้สมบัติการส่องผ่านแสงของฟิล์มแสดงตั้งภาพที่ 34 พบว่า PLA มีลักษณะของแผ่นฟิล์มโปร่งใสมากที่สุด สำหรับฟิล์ม PLA ที่ผสม ES ทุกอัตราส่วนมีความใสลดลงอย่างชัดเจน โดยจะเห็นได้ว่าในอัตราส่วนที่เท่ากันความสามารถในการส่องผ่านของแสงจะเพิ่มขึ้นและความสามารถการส่องผ่านแสงที่ได้ขึ้นเปรียบตรงกับปริมาณของผง ES ที่ผสมลงใน PLA ในช่วงความยาวคลื่นต่าง ๆ สอดคล้องกับ Younes (2011) ที่รายงานว่าการผสมพอลิเมอร์เบلنด์ที่เป็นตัวก่ออิมัลชัน (emulsifier) ทำให้ฟิล์มมีลักษณะฟิล์มอิมัลซิไฟฟ์ (emulsified films) ส่งผลให้มีลักษณะเป็นอนุภาคแขวนลอยอยู่ในฟิล์ม ทำให้ฟิล์มมีความชุ่นมากขึ้น



ภาพที่ 34 แสดงสมบัติการส่องผ่านแสงของพิล์ม

4.4 คุณสมบัติลักษณะด้านโครงสร้างผลึก

จากผลการศึกษาถึงลักษณะทางโครงสร้างของฟิล์ม PLA ผสม ES ในอัตราส่วน 9:1 ตามภาพที่ 35 พบว่าลักษณะการเลี้ยวเบนรังสีเอกซ์ ของฟิล์ม PLA ผสม ES ในอัตราส่วน 9:1 และ 8:2 ไม่พบการเลี้ยวเบนซึ่งแสดงถึงลักษณะฟิล์มที่ไม่ได้เกิดโครงผลึกได้ ๆ ยกเว้นในอัตราส่วน 7:3 ซึ่งมีปริมาณ ES สูงที่สุด พบว่ามีลักษณะการเลี้ยวเบนเป็นแบบยอดแหลม ซึ่งแสดงถึงลักษณะผลึกที่ก่อตัวขึ้นในฟิล์ม สร้างลักษณะยอดแหลมนั้นมีความเข้มของการสะท้อนที่มุม $2\theta = 32^\circ$ ซึ่งเป็นโครงผลึกของสารประกอบแคลไซด์ที่เติมลงไปในเนื้อฟิล์มและหลอมรวมกันเป็นเนื้อดีไซกันเป็นชั้นของฟิล์มที่ชัดเจนและสอดคล้องกับภาพจากกล้องจุลทรรศน์อิเล็กตรอนแบบส่องกราด (SEM) ในภาพที่ 43 (b)



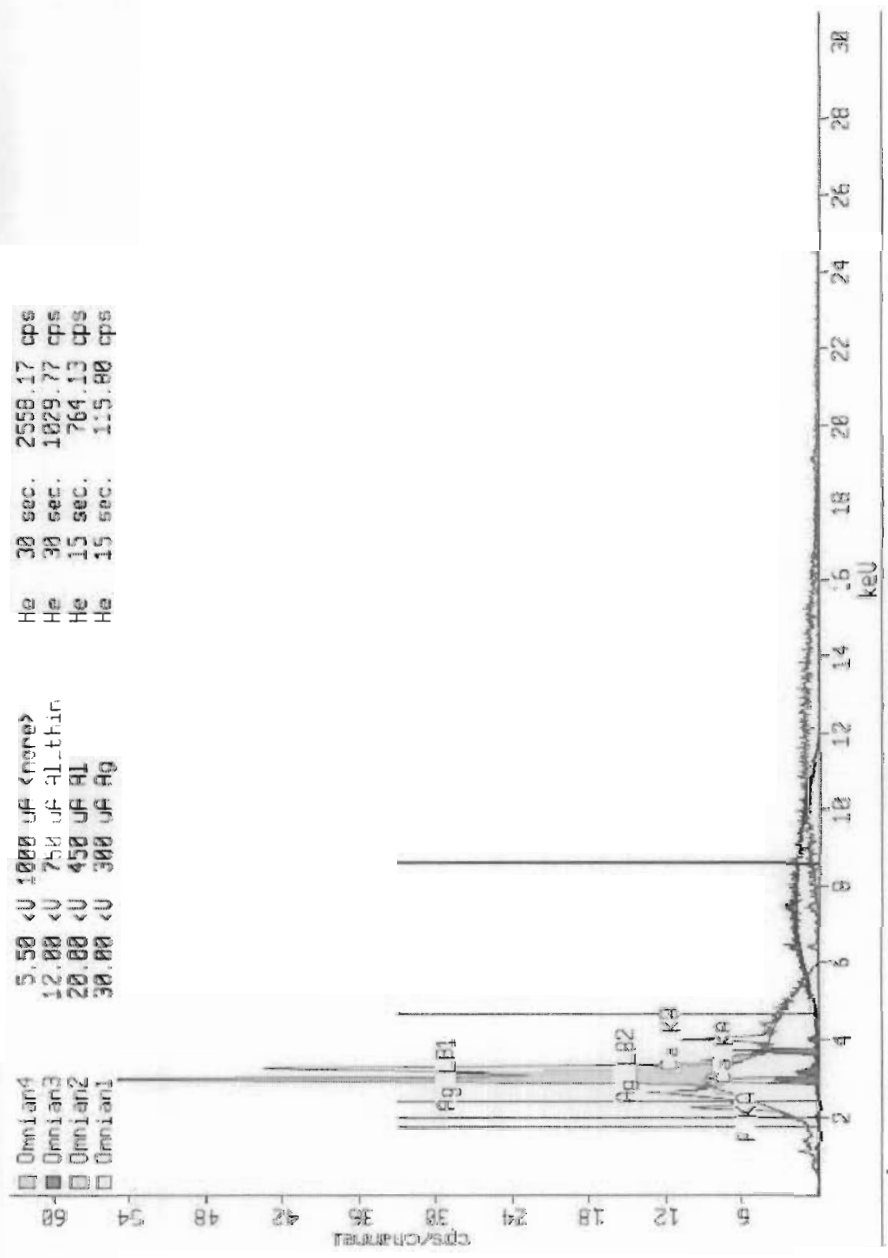
ภาพที่ 35 แผนก้าพ XRD ของฟิล์มพอลิแลคติกแอซิด ที่ผสมกับเปลือกไข่จากห้างสรรพสินค้า

4.5 คุณสมบัติลักษณะทางเคมี

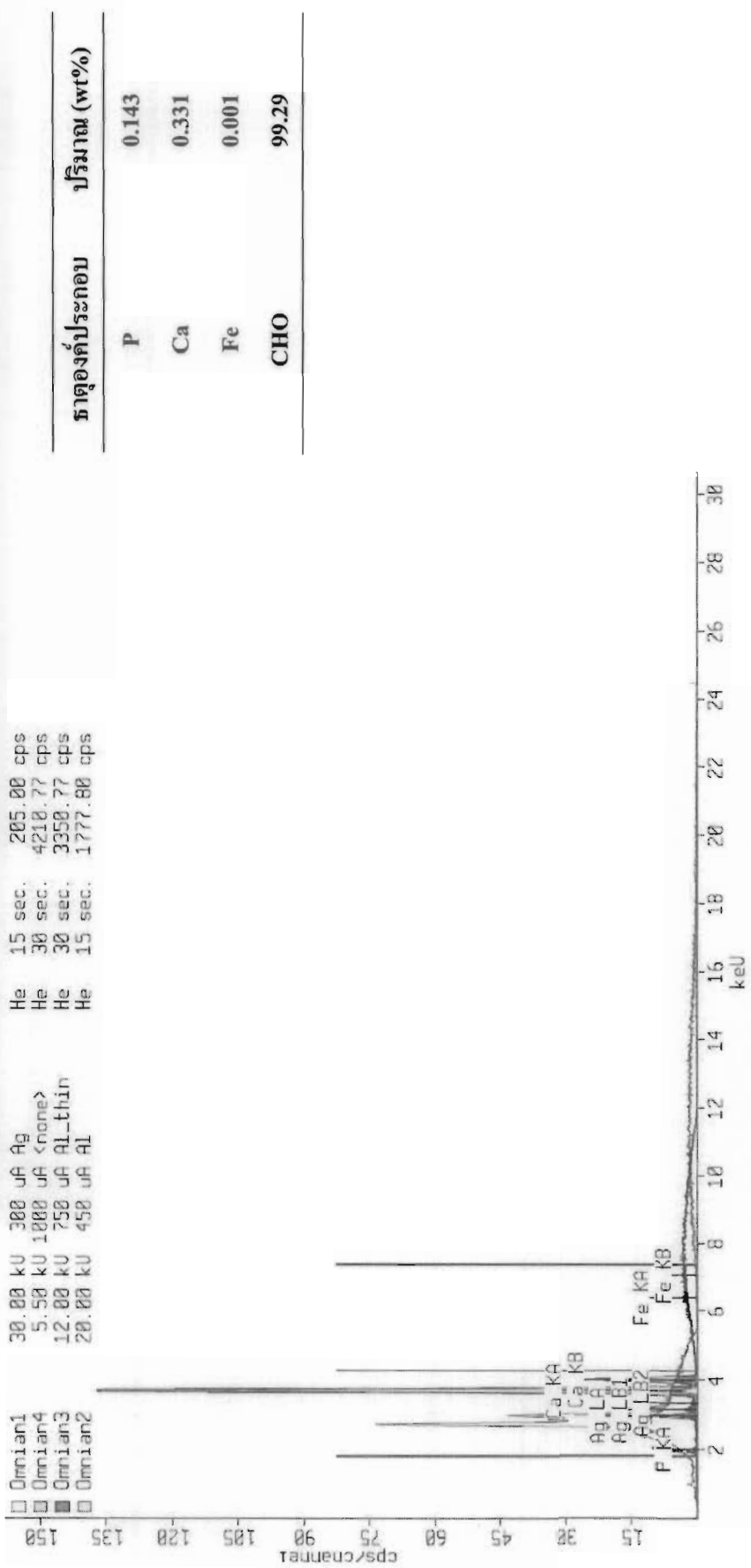
ในส่วนของธาตุประกอบทางเคมีของแผ่นฟิล์ม สามารถแสดงได้ตามตารางที่ 11 ซึ่งเป็นผลการทดลองจากการศึกษาถึงธาตุองค์ประกอบของฟิล์มโพลิแลคติกแอชิดผสมพงเปลือกไข่ ในอัตราส่วนต่าง ๆ กัน พบว่า Ca ซึ่งเป็นธาตุองค์ประกอบหลักของเปลือกไข่ และเป็นธาตุองค์ประกอบของชาตุหนึ่งของโพลิแลคติกแอชิดมีปริมาณเพิ่มขึ้นและปริมาณที่เพิ่มขึ้นสอดคล้องกับอัตราส่วนของเปลือกไข่ที่ผสมลงไปในโพลิแลคติกแอชิด สำหรับ P ที่พบเฉพาะในโพลิแลคติกแอชิดมีปริมาณที่เพิ่มขึ้นตาม อัตราส่วนของเปลือกไข่ที่ผสมด้วยเข่นกัน ส่วน Fe มีอัตราส่วนคงที่ จากผลการทดลองอาจเป็นไปได้ที่ P จะหลุดออกมาจากเปลือกไข่ (สุวรรณ เกษตรสุวรรณ, 2529) หลังจากเกิดปฏิกิริยาทางเคมีกับตัวทำละลายต่าง ๆ โดยกราฟของธาตุองค์ประกอบแสดงในภาพที่ 36 ถึงภาพที่ 39

ตารางที่ 11 ปริมาณธาตุองค์ประกอบทางเคมีของแผ่นฟิล์ม

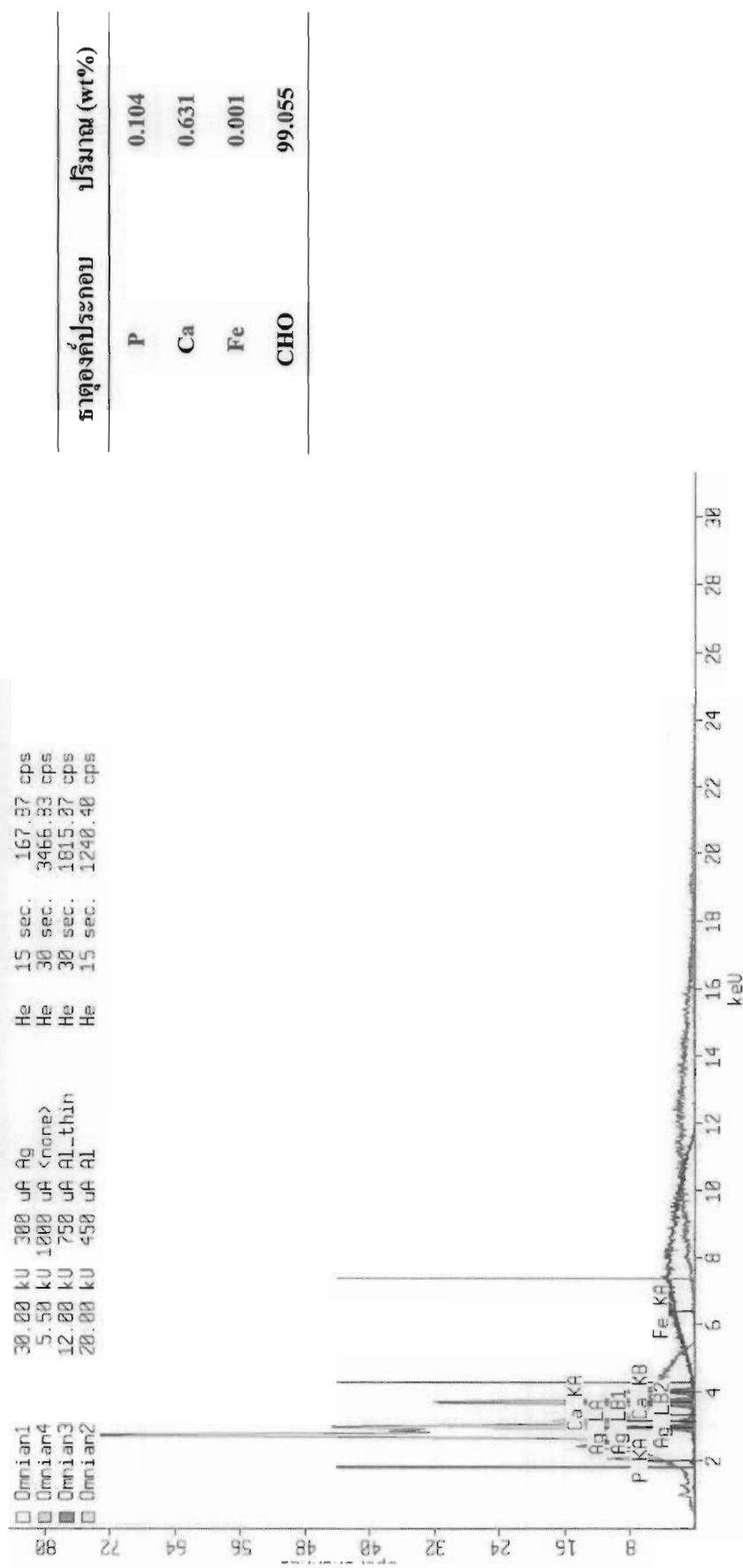
ธาตุองค์ประกอบ	PLA	ปริมาณ (wt%)		
		PLA/ES 9:1	PLA/ES 8:2	PLA/ES 7:3
P	0.02	0.104	0.143	0.167
Ca	0.051	0.331	0.631	1.754
Fe	0.001	0.001	0.001	0.001
CHO	99.701	99.29	99.055	97.762



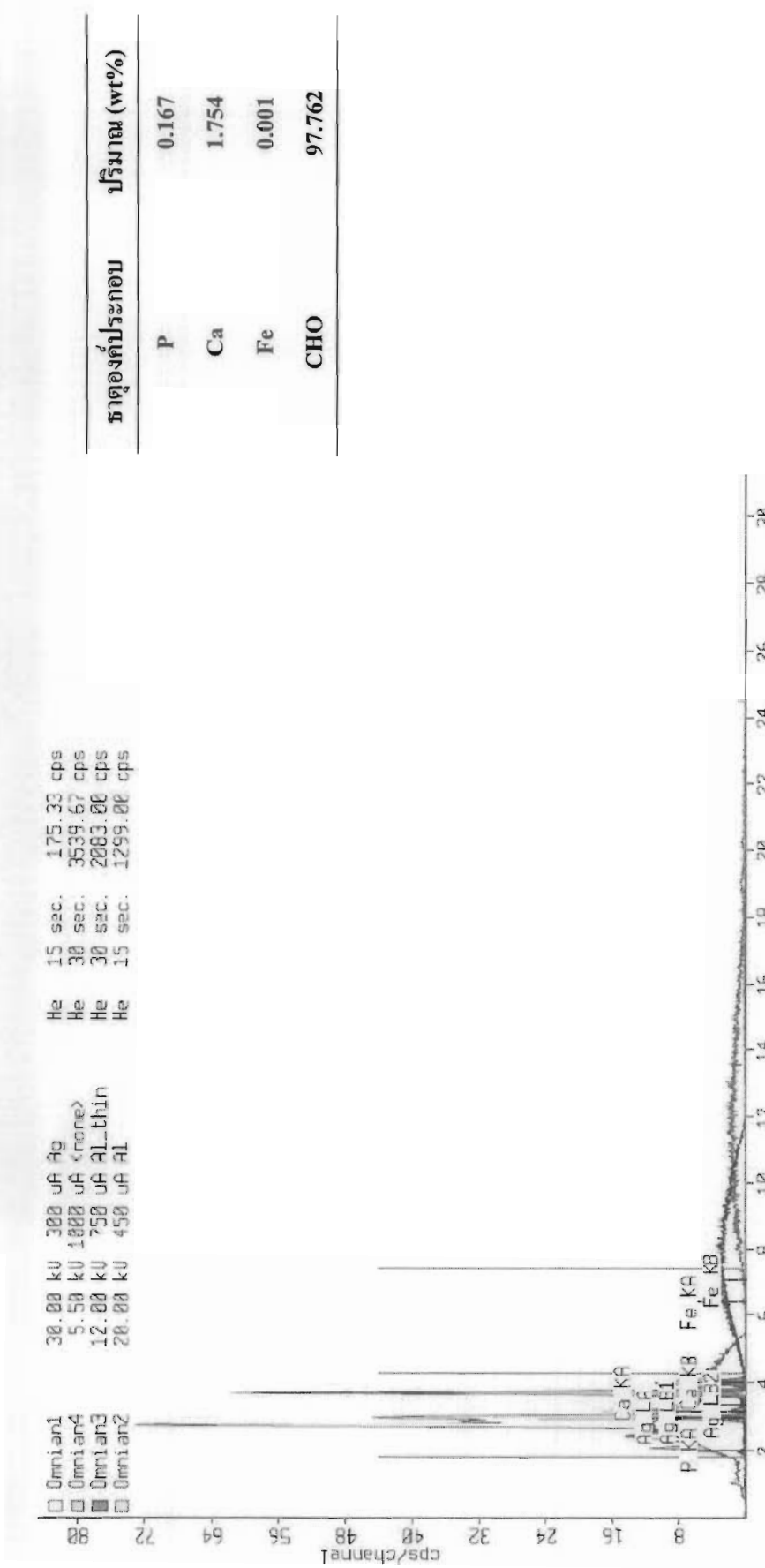
ภาพที่ 36 บริมาณ ธาตุองค์ประกอบของพอลิเมล์พอลิเมล์ทิกแซชิค (PLA)



ภาพที่ 37 บริรุณธาตุองค์ประกอบของพื้นพอดีแลคติกแอชต์ดส์มผงเปลือก ๆ ใจ (9:1)



ภาพที่ 38 บาร์เมานาดูองปรับแก้ของพอลิแลคติกแอติโนดัมผงเปลือกไข่ (8:2)



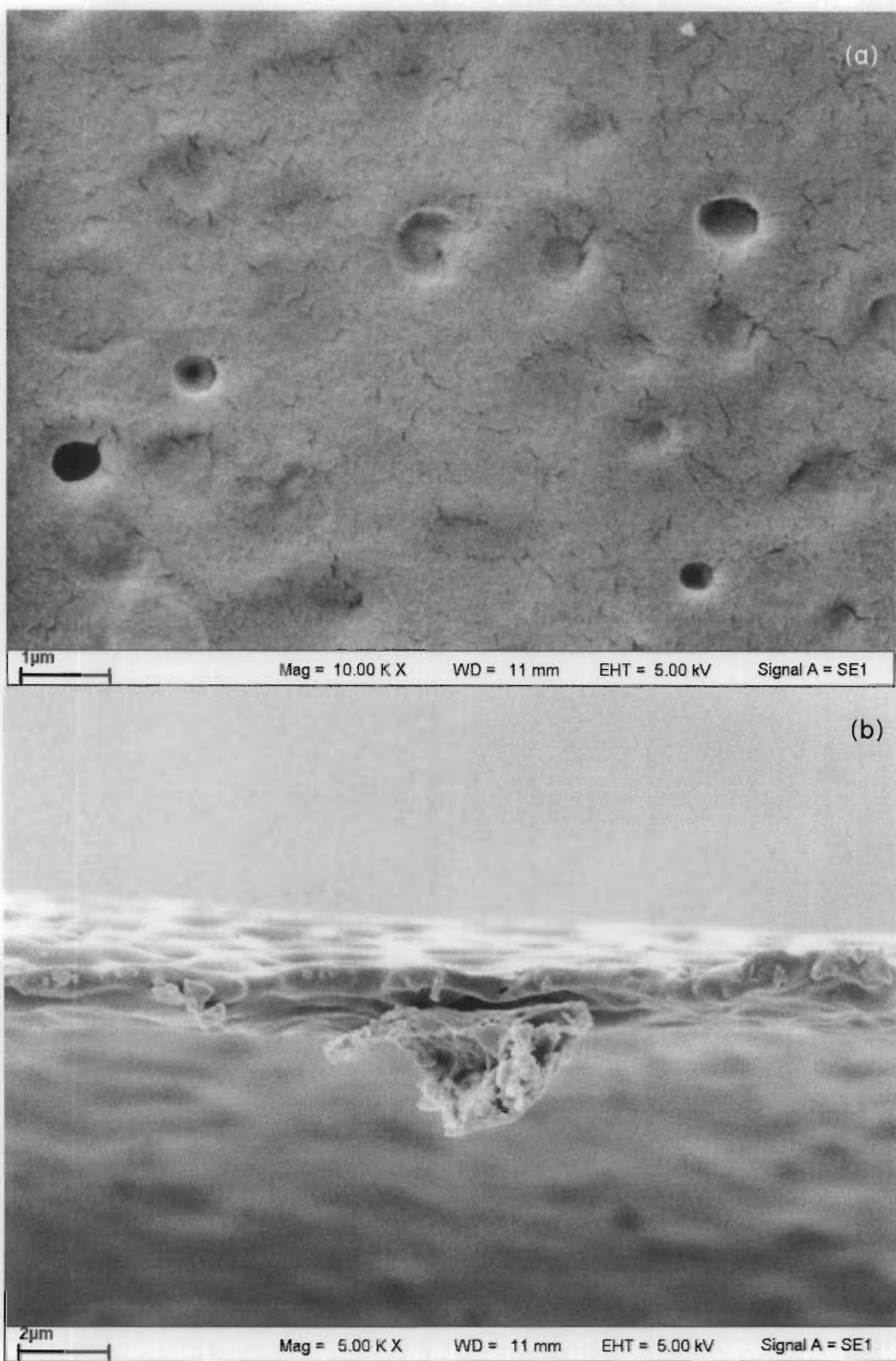
ภาพที่ 39 ปริมาณธาตุองค์ประกอบของพิล์มอลิเดโลติกแอลูมิโนแมกนีเซียม (7.3)

4.6 คุณลักษณะด้านพื้นผิว

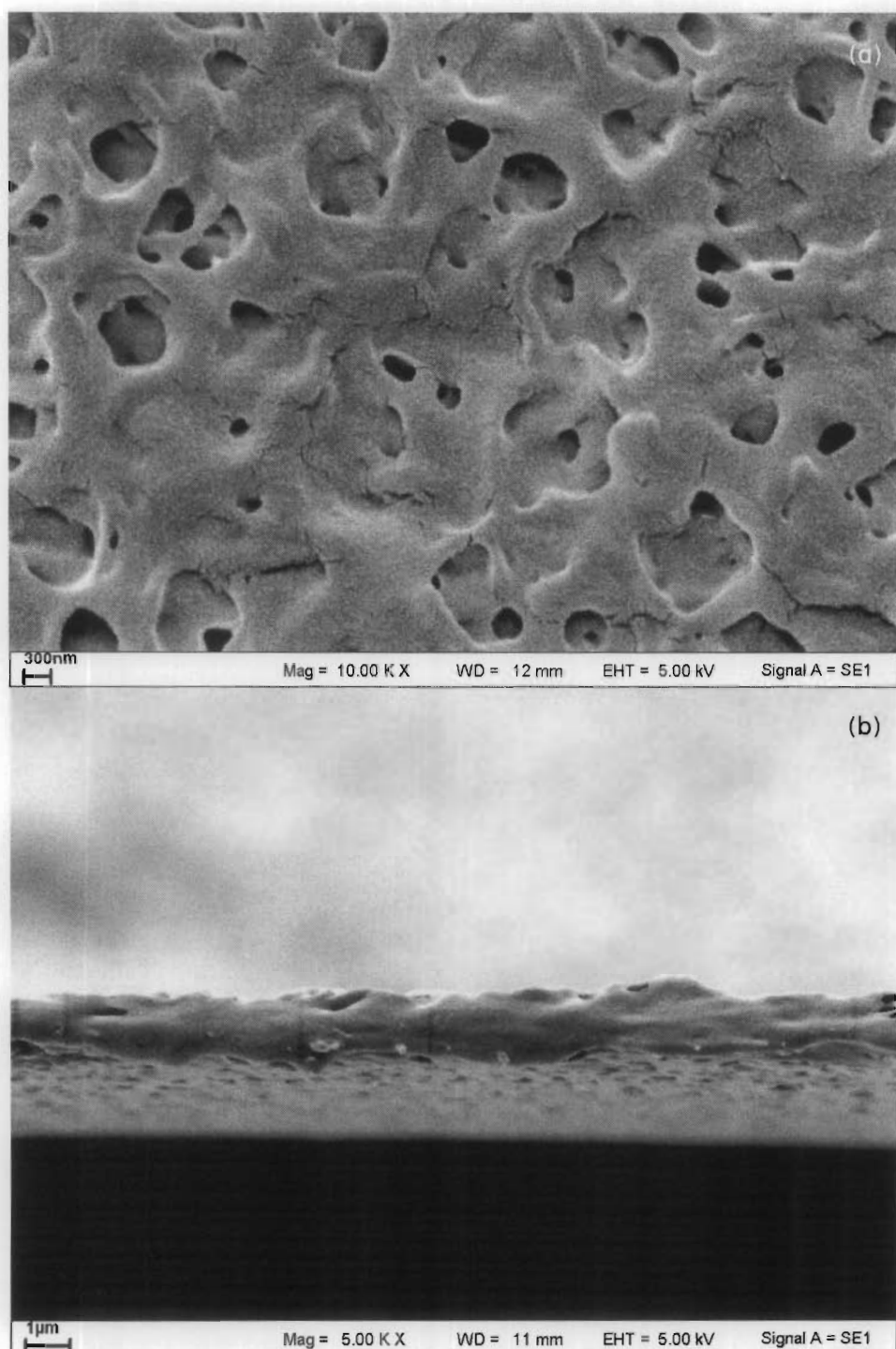
ลักษณะทางกายภาพด้านพื้นผิว ในส่วนที่เป็นภาพพื้นผิวด้านบน และภาพด้านขวาของแผ่นฟิล์ม PLA ที่ผสมกับวัสดุธรรมชาติสามารถแสดงได้ด้วยภาพถ่ายจาก SEM โดยจากภาพที่ 40 แสดงภาพถ่ายของฟิล์ม PLA ภาพที่ 41 แสดงภาพถ่ายของฟิล์ม PLA ผสม ES ในอัตราส่วน 9:1 ภาพที่ 42 แสดงภาพถ่ายของฟิล์ม PLA ผสม ES ในอัตราส่วน 8:2 และภาพที่ 43 แสดงภาพถ่ายของฟิล์ม PLA ผสม ES ในอัตราส่วน 7:3 ที่กำลังขยาย 10000X และ 5000X ตามลำดับ สำหรับภาพจาก SEM ในรูปที่ 45 (a) แสดงให้เห็นมีรอยร้าว และรูพรุนบนผิวฟิล์ม ขนาด 500 nm และภาพที่ 45 (b) แสดงให้เห็นถึงความเป็นเนื้อเดียวกันของฟิล์ม (homogeneous) ที่ประกอบด้วยโครงสร้างชั้นเดียว

4.7 สมบัติด้านความหนา

สำหรับความหนาของฟิล์ม พบร้า PLA มีความหนาน้อยที่สุดคือ 400 nm และฟิล์ม PLA ผสม ES จะมีค่าระหว่าง $14.12 \pm 1.59 \mu\text{m}$ ดังแสดงในตารางที่ 12 ซึ่งความหนาของฟิล์มเพิ่มขึ้นตามอัตราส่วนของ ES ที่ผสมในฟิล์ม PLA



ภาพที่ 40 ภาพถ่ายของฟิล์มพอลิแลคติกแอซิด (PLA)
(a คือภาพทึบผิว; b คือภาพตัดขวาง)

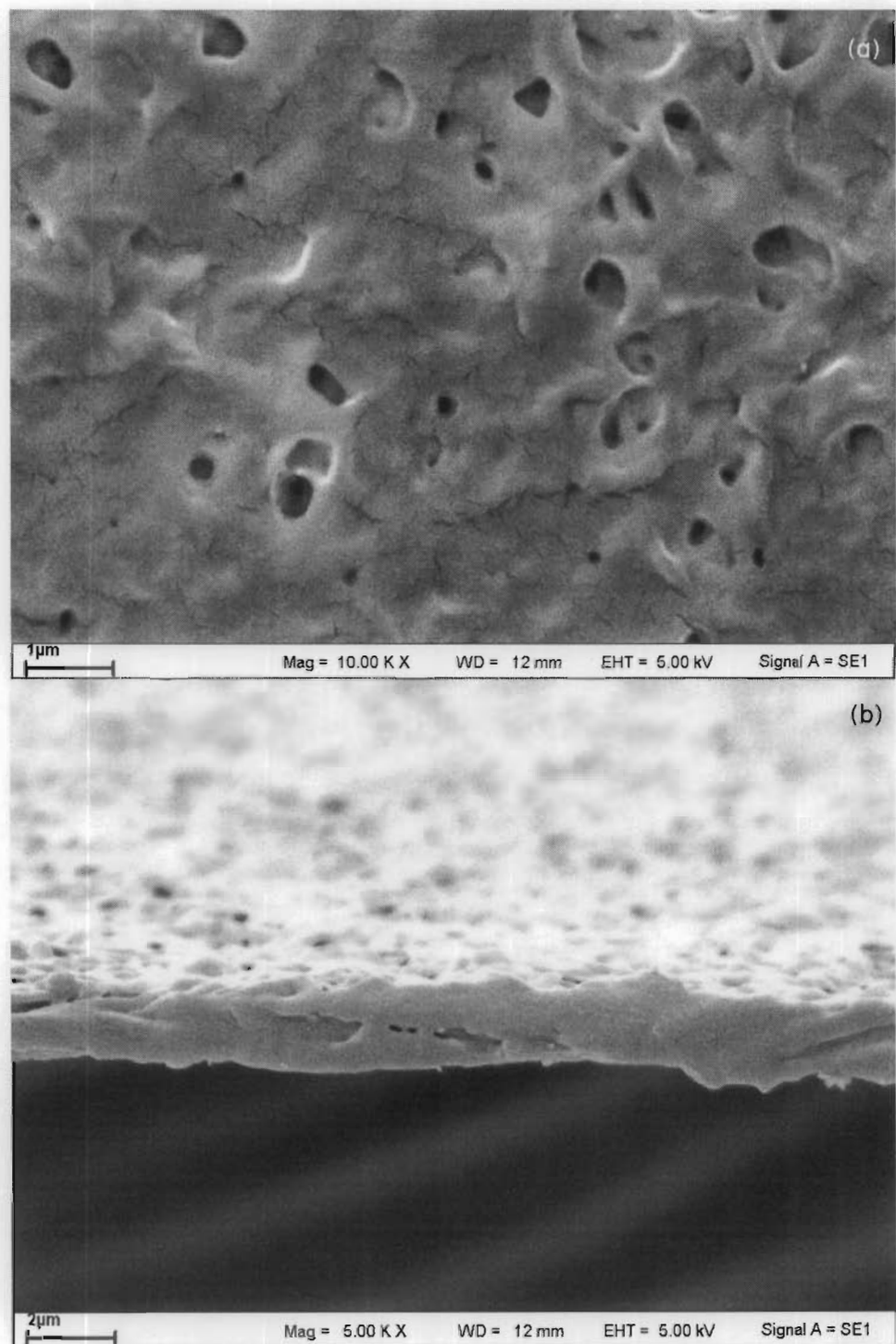


ภาพที่ 41 แสดงภาพถ่ายของฟิล์มโพลีแลคติกแอซิดสมูผงเปลือกไข่ในอัตราส่วน 9:1
(a คือภาพพื้นผิว; b คือภาพตัดขวาง)

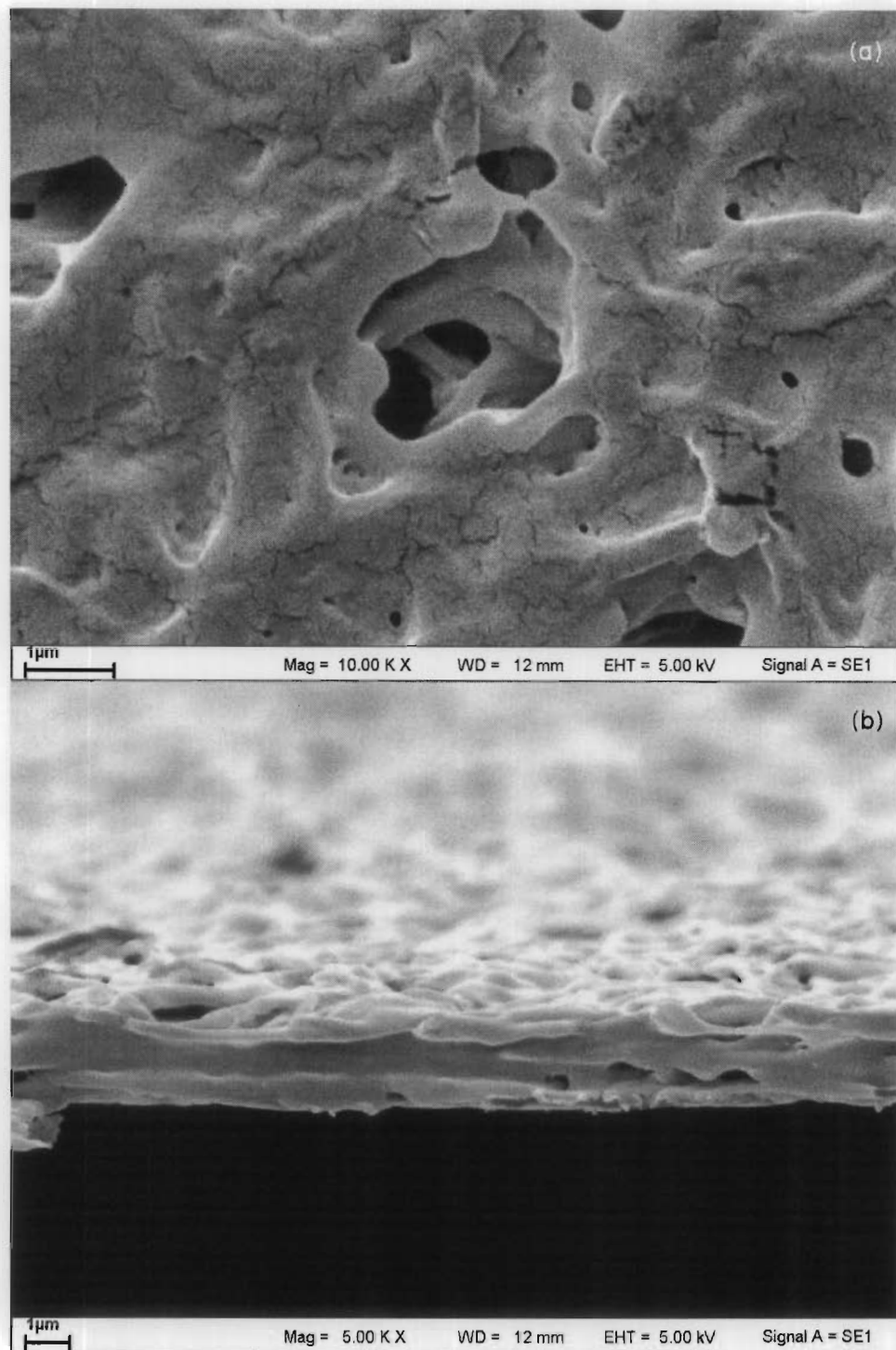
สำหรับภาพจาก SEM ในภาพที่ 41 (a) แสดงให้เห็นว่ามีรูพรุนบนผิวฟิล์มเพิ่มมากขึ้น โดยรูพรุนดังกล่าวมีขนาด 600 nm โดยผิวฟิล์มของ PLA ผสม ES ในอัตราส่วน 9:1 มีลักษณะเป็นเส้นไขว้างซ้อนกัน และภาพที่ 41 (b) แสดงให้เห็นถึงความไม่เป็นเนื้อเดียวกันของฟิล์ม โดยพบว่ามีลักษณะเม็ดเล็ก ๆ ของอนุภาคกระจายตัวอยู่ในเนื้อฟิล์มแต่ยังไม่มีการแยกชั้น

สำหรับภาพจาก SEM ในภาพที่ 42 (a) แสดงให้เห็นว่ามีรูพรุนบนผิวฟิล์มมีจำนวนลดลง โดยยังคงมีขนาด 600 nm แต่ลักษณะของผิวฟิล์มของ PLA ผสม ES ในอัตราส่วน 8:2 มีลักษณะเป็นเส้นไขที่พسانรวมกันเป็นชั้นมากขึ้น และภาพที่ 42 (b) แสดงให้เห็นถึงความไม่เป็นเนื้อเดียวกันของฟิล์ม โดยพบว่ามีลักษณะเม็ดเล็ก ๆ ของอนุภาคกระจายตัวอยู่ในเนื้อฟิล์มในปริมาณที่มากขึ้น

สำหรับภาพจาก SEM ในภาพที่ 43 (a) แสดงให้เห็นว่ารูพรุนบนผิวฟิล์มมีขนาดใหญ่ขึ้น เป็นขนาด 1-2 μm แต่ลักษณะของผิวฟิล์มของ PLA ผสม ES ในอัตราส่วน 7:3 มีลักษณะเป็นเส้นไขที่พسانรวมกันเป็นชั้นวางซ้อนกันอย่างชัดเจน และมีรอยแตกกระจายทั่วผิวฟิล์ม โดยภาพที่ 43 (b) แสดงให้เห็นถึงความไม่เป็นเนื้อเดียวกันของฟิล์ม โดยพบว่ามีหลายชั้นในลักษณะที่เป็นชั้นของฟิล์มที่วางซ้อนกันอย่างชัดเจน

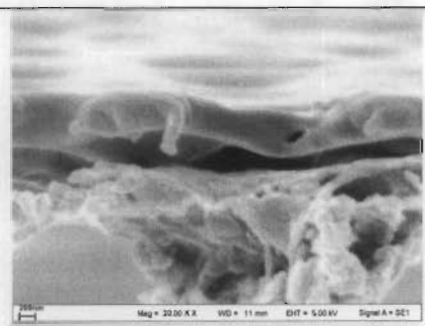
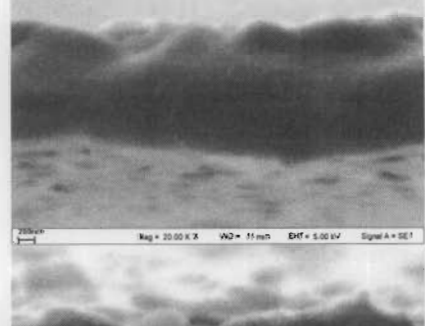
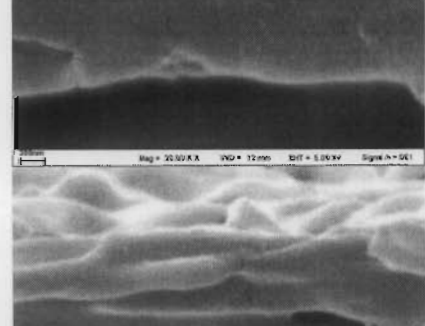


ภาพที่ 42 แสดงภาพถ่ายของฟิล์มพอลิแลคติกแอซิดฟูมผงเปลือกไข่ในอัตราส่วน 8:2
(**a** คือภาพพื้นผิว; **b** คือภาพตัดขวาง)



ภาพที่ 43 แสดงภาพถ่ายของฟิล์มโพลีแลคติกแอซิดผสมผสานพีโอลิไนด์ในอัตราส่วน 7:3
(a คือภาพพื้นผิว; b คือภาพตัดขวาง)

ตารางที่ 12 แสดงความสามารถในการละลายน้ำและความหนาของฟิล์ม

สูตร	สัดส่วน	ความสามารถ ในการละลาย น้ำ (%)		ความหนา ของ แผ่นฟิล์ม	ลักษณะ ภาพตัดขวางของฟิล์ม
		ในการละลาย	ความหนา		
PLA	10	10.40	400 nm		
PLA : ES	9 : 1	9.58	1.3 μm		
PLA : ES	8 : 2	7.58	1.5 μm		
PLA : ES	7 : 3	6.02	1.8 μm		

4.8 คุณสมบัติการละลายน้ำ

จากผลการทดลองในตารางที่ 12 พบว่าฟิล์ม PLA : ES ในอัตราส่วน 7:3 ละลายน้ำได้มากกว่าและมีการละลายน้ำได้มากขึ้นเมื่ออัตราส่วนการผสม ES เพิ่มสูงขึ้น ในขณะที่ PLA มีเปอร์เซ็นต์การละลายน้ำสูงที่สุด

โดยทั่วไป ES มีองค์ประกอบหลักเป็นแคลเซียมคาร์บอเนต ซึ่งมีคุณสมบัติเฉพาะคือ ไม่สามารถละลายได้ในน้ำ แต่สามารถทำปฏิกิริยากับน้ำและการรับอนุไดออกไซด์ แล้วกลายเป็น แคลเซียมไบคาร์บอเนตที่สามารถละลายน้ำได้เล็กน้อย ซึ่งสอดคล้องกับผลการทดลองที่ได้ว่า เมื่ออัตราส่วนของ ES เพิ่มมากขึ้นทำให้เปอร์เซ็นต์การละลายน้ำลดลงอย่าง

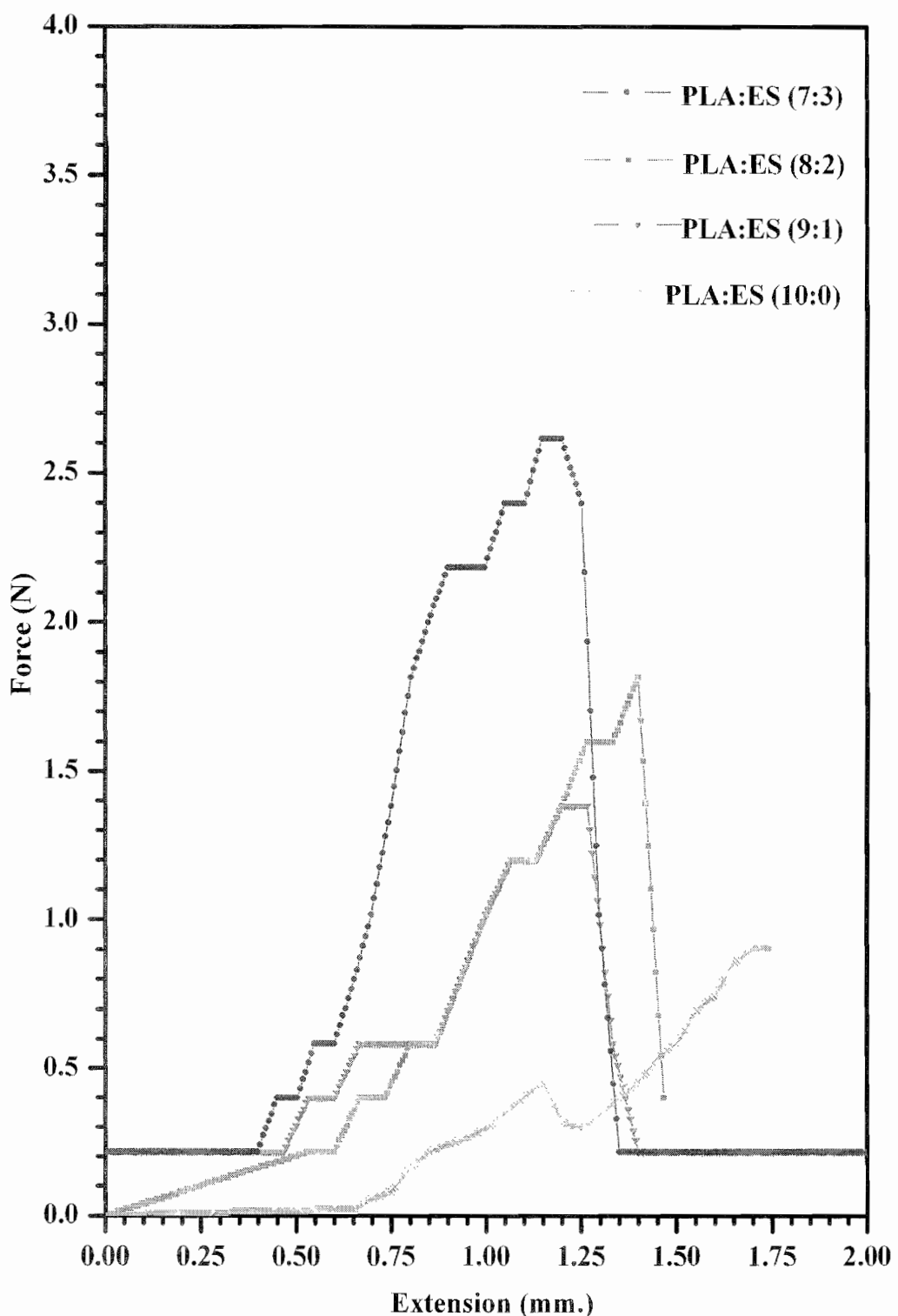
4.9 คุณสมบัติด้านแรงดึงและการยืด

จากการศึกษาคุณสมบัติด้านกายภาพของฟิล์ม PLA ผสม ES ผลการทดลอง

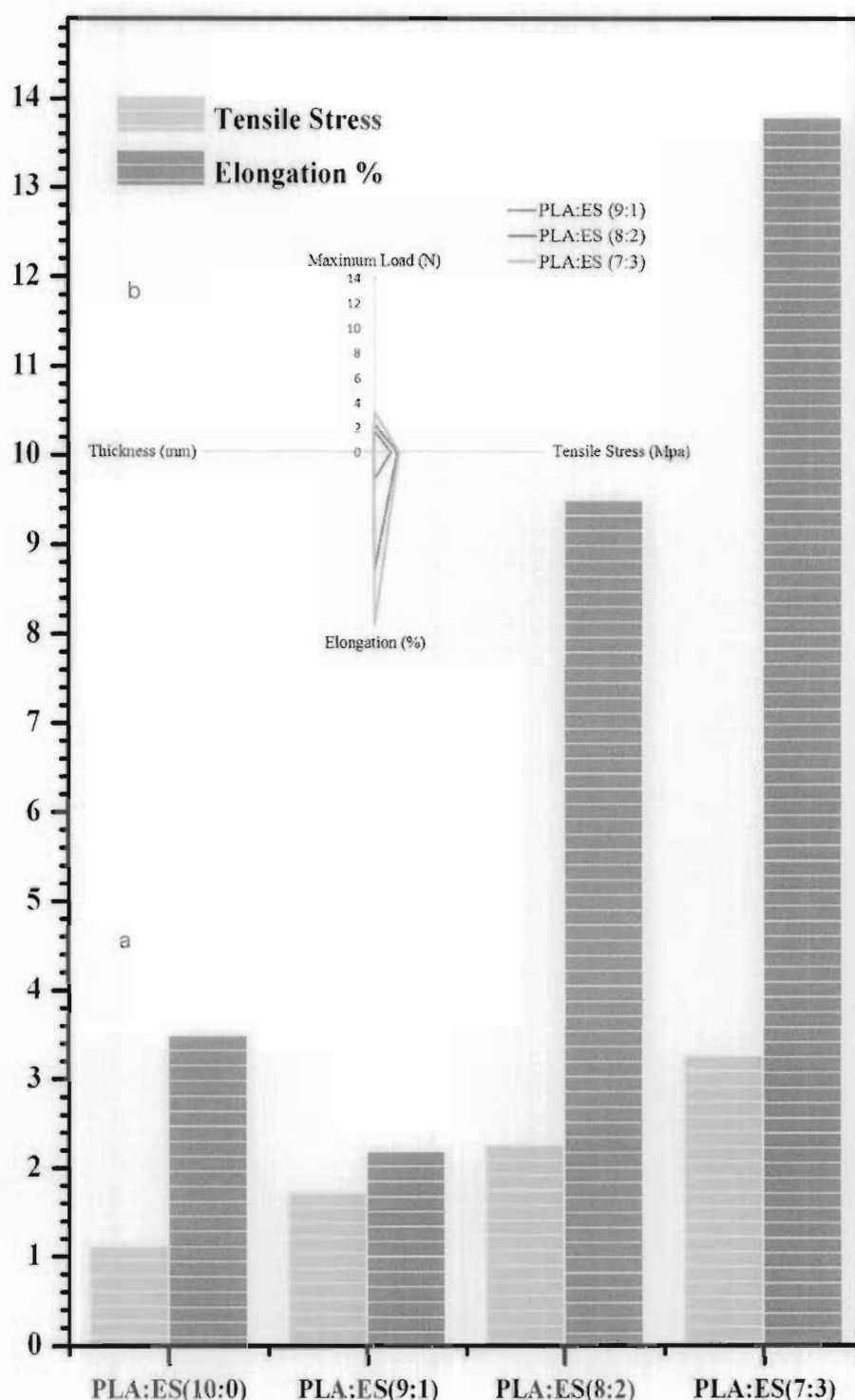
คุณสมบัติด้านแรงดึงและการยืดสามารถแสดงได้ดังภาพที่ 44 โดยได้แสดงถึง พฤติกรรมเชิงกล ของวัสดุภายใต้แรงดึงหรือการยืดในแนวแกน ได้แก่ ปิดจ้ำกัดการยืดหยุ่น (elastic limit) ร้อยละ การยืด (percent elongation) และ โมดูลัสความยืดหยุ่น (modulus of elasticity) ในการอธิบาย พฤติกรรมและความเครียดที่เกิดขึ้น ได้แสดงค่าของแรงค่านี้เป็นแกนตั้งและความเครียดที่เกิดขึ้น เป็นแกนนอน ในภาพที่ 44 ช่วงยืดหยุ่นคือช่วงเริ่มแรกของ กราฟจนถึงช่วงปิดจ้ำกัดการยืดหยุ่น ช่วงปิดจ้ำกัดการยืดหยุ่นคือตำแหน่งช่วงแรงค่านี้เป็นที่นิ่น และเริ่มเข้าสู่ช่วงของการเสียรูปคลาว ส่วนค่าโมดูลัสความยืดหยุ่นสามารถหาได้จากการชั้นของเส้นกราฟในช่วงของการเสียรูปแบบ ยืดหยุ่น หรือ ช่วงปิดจ้ำกัดแบบสัดส่วน ดังที่แสดงในภาพที่ 44 สำหรับภาพที่ 45 แสดงถึงการ ทดสอบแรงดึงของฟิล์ม PLA ผสมกับ ES ที่ระดับต่าง ๆ ทั้งหมด 3 ระดับ ได้แก่ 10, 20 และ 30% ค่าความต้านทานแรงดึงสูงสุด แสดงในภาพที่ 45 พบว่าปริมาณ ES ที่เพิ่มเข้าไปนั้นมีผลต่อค่า ความต้านทานแรงดึง กล่าวคือ เมื่อเติม ES 10% แรงดึงเพิ่มขึ้นเป็น 1.730 N จาก ฟิล์ม PLA บริสุทธิ์ ซึ่งมีแรงดึงคือ 1.130 N และ สำหรับการเติม ES 20% แรงดึงเพิ่มขึ้นเป็น 2.270 N นอกจากนี้เมื่อมีการเติม ES 30% จะมีค่าแรงดึงสูงถึง 3.270 N ดังนั้นจะเห็นว่า เมื่อมีการ ES จะ ส่งผลให้ค่าแรงดึงสูงขึ้นอย่างชัดเจน เป็นการเสริมความแข็งแรงให้กับฟิล์ม PLA โดยแสดงถึง ความแข็งแรงต่อการแตกหักของวัสดุหรือความสามารถที่จะทนต่อแรงกระแทกพลัน และยังทำ ให้สอดคล้องกับความสามารถในการขึ้นรูปเพิ่มขึ้นด้วย นอกจากนี้ภาพที่ 44 แสดงถึงความสัมพันธ์ ระหว่างแรงค่านี้กับความเครียด เพื่อพิจารณาค่าโมดูลัสความยืดหยุ่นของฟิล์ม PLA ที่บริสุทธิ์ และฟิล์ม PLA ผสม ES 30% โดยค่าโมดูลัสความยืดหยุ่นจะสัมพันธ์กับความแข็งแรงของพันธะ

ระหว่างอะตอน

จากสื้นตรงในช่วงที่เกิดการเสียรูปแบบยึดหยุ่นพบว่าฟิล์ม PLA ผสม ES 30% จะมีค่าโมดูลัสความยึดหยุ่นสูงกว่า ฟิล์ม PLA บริสุทธิ์ อันแสดงถึง ความแข็งแรงของพื้นที่ระหว่างอะตอนของฟิล์ม PLA ผสม ES 30% ว่ามีความแข็งแรงมากกว่า ซึ่งสอดคล้องกับความสัมพันธ์จากภาพที่ 45 (a) ที่พบว่า ฟิล์ม PLA ผสม ES 30% จะมีร้อยละการยึดสูงที่สุด คือ 13.8 % ฟิล์ม PLA ผสม ES 20% และ 10% จะมีร้อยละการยึด เป็น 9.5 % และ 3.5% ตามลำดับ ในขณะที่ฟิล์ม PLA บริสุทธิ์ มีร้อยละการยึดเพียง 2.2 % ซึ่งสามารถแสดงความสัมพันธ์ระหว่างขีดจำกัดการยึดหยุ่น ร้อยละการยึดและ โมดูลัสความยึดหยุ่นได้ดังภาพที่ 45 (b)



ภาพที่ 44 คุณสมบัติด้านแรงดึงและการยืด



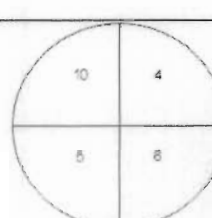
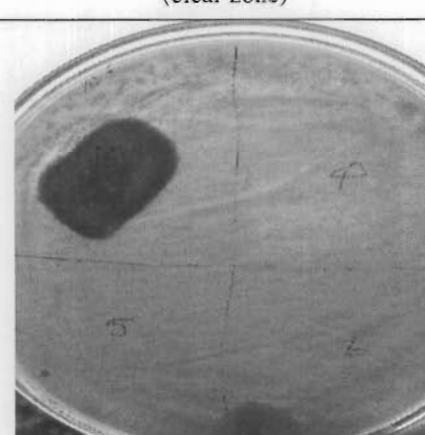
ภาพที่ 45 แสดงความสัมพันธ์ระหว่าง ขีดจำกัดการยืดหยุ่น (Tensile stress) และร้อยละการยืด (Elongation)

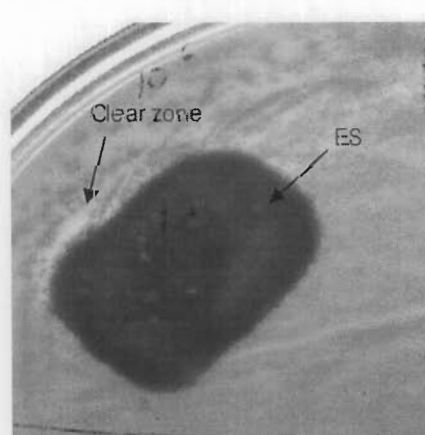
4.10 คุณสมบัติการต้านเชื้อจุลินทรีย์

การทดสอบประสิทธิภาพการยับยั้งเชื้อแบคทีเรีย

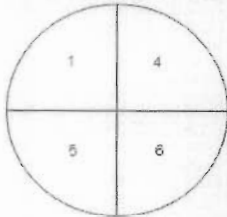
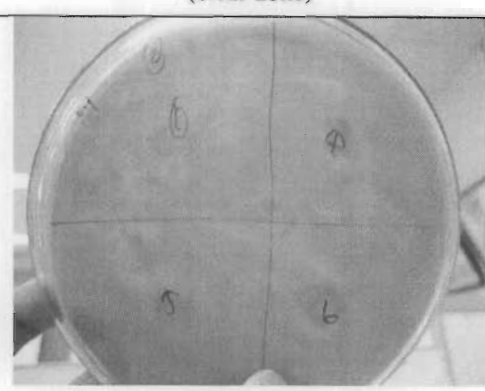
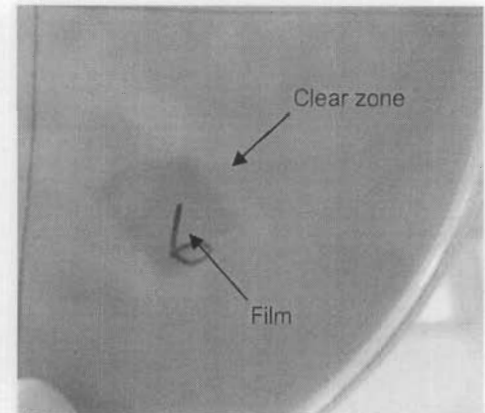
ในงานวิจัยนี้ทดสอบประสิทธิภาพการยับยั้งเชื้อแบคทีเรียโดยทดสอบด้วยวิธีการแปรผลจากเกิดรัศมีการยับยั้งเชื้อแบคทีเรียซึ่งถือเป็นการทดสอบเชิงคุณภาพ และในงานวิจัยนี้ได้ทำการทดสอบการยับยั้งด้วยเชื้อแบคทีเรีย *E.coli* โดยผลของการทดสอบแสดงในตารางที่ 13

ตารางที่ 13 แสดงประสิทธิภาพการยับยั้งเชื้อแบคทีเรีย

สัดส่วน	ลักษณะการเกิดพื้นที่ปลอดเชื้อ (clear zone)	หมายเหตุ
(a)  4 = PLA : ES (9:1) 5 = PLA : ES (8:2) 6 = PLA : ES (7:3) 10 = ES powder		


--

ตารางที่ 8 (ต่อ)

สัดส่วน	ลักษณะการเกิดพื้นที่ปลอดเชื้อ ^(clear zone)	หมายเหตุ
(b)	 <p>1 = PLA 4 = PLA : ES (9:1) 5 = PLA : ES (8:2) 6 = PLA : ES (7:3)</p>  	

ผลการทดสอบพบว่ารัศมีการยับยั้งเชื้อแบคทีเรียจากตารางที่ 13 โดยเปรียบเทียบจาก PLA, PLA : ES (9:1), PLA : ES (8:2), PLA : ES (7:3) และ พงเปลือกไน (ES powder) พบว่า รัศมีการยับยั้งเชื้อแบคทีเรียที่เกิดขึ้นกับชุดทดสอบมีขนาดที่แตกต่างกัน จากตารางที่ 13(a) จะพบว่ารัศมีการยับยั้งเชื้อแบคทีเรียเกิดขึ้นบริเวณของ ES powder โดยเห็นได้อย่างชัดเจน เมื่อเทียบกับ PLA : ES (9:1), PLA : ES (8:2) และ PLA : ES (7:3) โดยสอดคล้องกับ Rai and Singh (2003) ที่ศึกษาผลของแคลเซียมคาร์บอนेटในโพลิสไตรีนพบว่าเมื่อเพิ่มปริมาณแคลเซียม คาร์บอนेटในโพลิสไตรีนจะส่งผลให้เปอร์เซนต์ของแบคทีเรียมีแนวโน้มลดลงตามปริมาณ แคลเซียมคาร์บอนेटที่เพิ่มขึ้น และยังพบว่าแคลเซียมคาร์บอนेटในโพลิสไตรีนออกจากจะช่วย เป็นสารเพิ่มน้ำ份ให้กับโพลิสไตรีนและยังเป็นสารเสริมแรงสำหรับโพลิสไตรีนอีกด้วย และจากการงานเดียวกันนี้ ในการฉีดของโพลิไวนิลคลอไรด์พบว่าการมีแคลเซียมคาร์บอนे�ตส่งผลให้เปอร์เซนต์ การลดลงของแบคทีเรียมีค่าสูงขึ้น และสูงขึ้นตามปริมาณแคลเซียมคาร์บอนेटที่เพิ่มขึ้น

และจากตารางที่ 13(b) เป็นชุดการทดสอบของ PLA, PLA : ES (9:1), PLA : ES (8:2), PLA : ES (7:3) ซึ่งบริเวณที่พบรักมีการยับยั้งเชือเบคที่เรียกว่ากิบชื่นมากที่สุดคือ PLA : ES (7:3) เนื่องจาก PLA : ES (7:3) มีปริมาณของแคลเซียมคาร์บอนเนตมากที่สุด จึงทำให้เกิดประสิทธิภาพการยับยั้งเชือสูงที่สุด ซึ่งสอดคล้องกับผลการทดสอบในตารางที่ 13 (a) ที่มีแนวโน้มไปในทิศทางเดียวกันคือเกิดรักมีการยับยั้งน้อยลงเมื่ออัตราส่วนการผสมของ ES น้อยลง และจากรายงานวิจัยของ Sahebian et al. (2009) ที่พบว่าแคลเซียมคาร์บอนเนตมีผลต่อการยับยั้งเชือเบคที่เรียกว่าโดยได้ผ่านแคลเซียมคาร์บอนเทลุงในพอลิเอทิลีนความหนาแน่นสูงพบว่าที่ปริมาณแคลเซียมคาร์บอนสูง(30%) มีเปอร์เซ็นต์การยับยั้งมากกว่าเมื่อเทียบกับที่ปริมาณแคลเซียมคาร์บอนต่ำ(10%) จากงานวิจัยนี้จึงสรุปได้ว่าการผสมแคลเซียมคาร์บอนในปริมาณที่สูงทำให้มีประสิทธิภาพในการยับยั้งเชือเบคที่เรียกว่าสูงขึ้นตามไปด้วย